Estimación de severidad y radiometría de campo Análisis de severidad y regeneración con SAR

GEOFOREST

Procesos geo-ambientales en espacios forestales



Juan de la Riva y Fernando Pérez-Cabello

Departamento de Geografía y Ordenación del Territorio
Universidad de Zaragoza

GEOFOREST_

Procesos geo-ambientales en espacios forestales



http://geoforest.unizar.es/

Grupo de Investigación Excelencia E-68 "GEOMORFOLOGÍA Y CAMBIO GLOBAL" (BOA 54, 15 de mayo de 2006) del Instituto Pirenaico de Ecología (IPE, CSIC) y la Universidad de Zaragoza (UZ).

Red temática nacional Efectos de los incendios forestales Sobre el suelo



FUEGORED

Red temática nacional Efectos de los Incendios Forestales sobre los Suelos

Instituto Universitario de Investigación en Ciencias Ambientales de Aragón



GEOFOREST_ Procesos geo-ambientales en espacios forestales

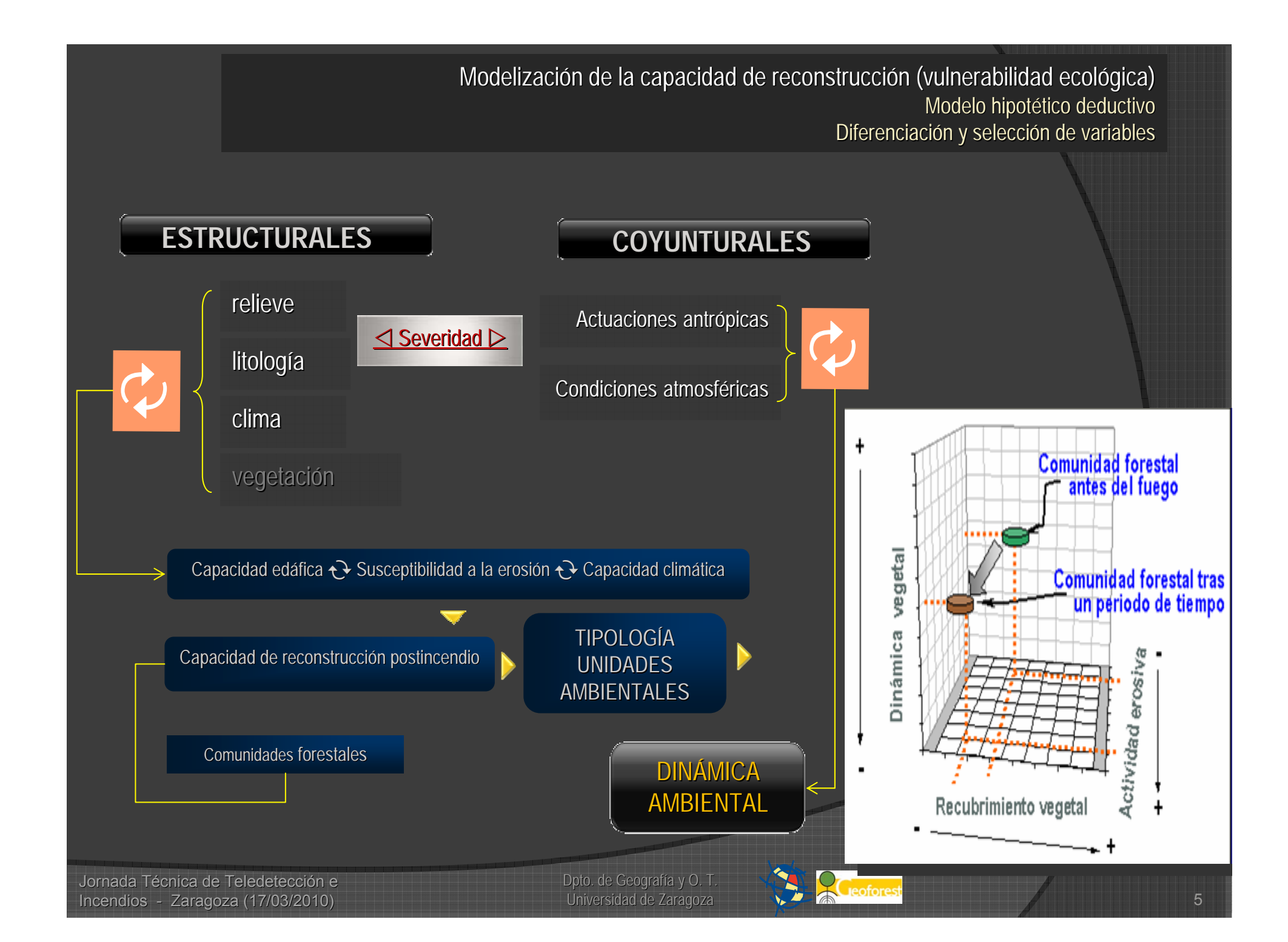


http://geoforest.unizar.es

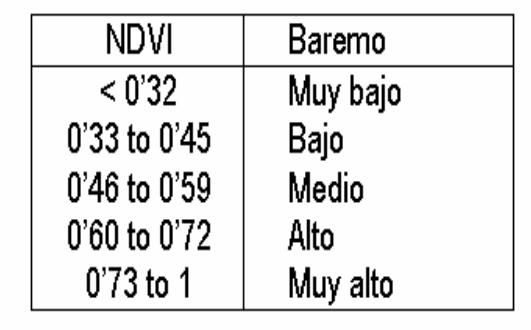
Líneas de investigación: Incendios/Teledetección

- Análisis de Riesgo (UA, IEGD-CSIC)
- Cartografía y análisis de procesos ambientales postincendio
 - Teledetección espacial y SIG para
 - La detección de incendios
 - El seguimiento multitemporal
 - La modelización de la vulnerabilidad ecológica
 - Modelización de zonas susceptibles a la erosión
 - Relaciones biomasa residual-severidad
 - El diseño de nuevas metodologías para el análisis del los efectos inmediatos del fuego y la determinación de la severidad (espectro-radiometría de campo, FDARE, SAR).

Cartografía y análisis de severidad Inventario niveles de afección por tipos de paisaje Tabla 1. Número de incendios y hectáreas quemadas (1974-1989). Nº incendios 5.228.563 288.058 172.688 España San Juan de la Peña (132-94) 4.753 44.804 Bernués (166-86) Ara gon 1.899 24.002 Hue sca 365 Fuente: D.G. A., el aboración propia. Prep. oscense Solano de Triste y Barranco d río Moro Umbria (42-86)Sierra de Aineto (41-86)Rio Guarga Nofuentes (63-90) Pardina Monrepós (65-93) (38-92)Paco Anzánigo (75-85) Paco Aliana (87-86) Castillo Mango (61-86) Mapa 3b. Grandes Incendios forest 1985-1997 .Valledusa (15-86)Rio Guatizalema Regeneración baja Sin cambios Severidad baja Severidad media-baja Jornada Técnica de Teledetección e Severidad media-alta



Análisis sintético de los factores estructurales Técnica multicriteria (asignación de pesos)



Talla de las formaciones Baremo Bosques de talla mayor de 7 m Muy alto Reforestación reciente en terrazas Bajo Repoblaciones integradas Medio Repoblaciones poco integradas Bajo Matorral arbustivo entre 3 y 7 m Alto Matorral subarbustivo entre 1'5 y 3m Medio Matorral medio entre 0'5 y 1'5 m Baio Matorral bajo entre 5 y 50 cm Bajo Matorral medio entre 0'5 y 1'5 m con herbáceas vivaces Bajo Matorral bajo entre 5 y 50 cm con herbáceas vivaces Bajo Pastizales Muy bajo

Densidad de la vegetación

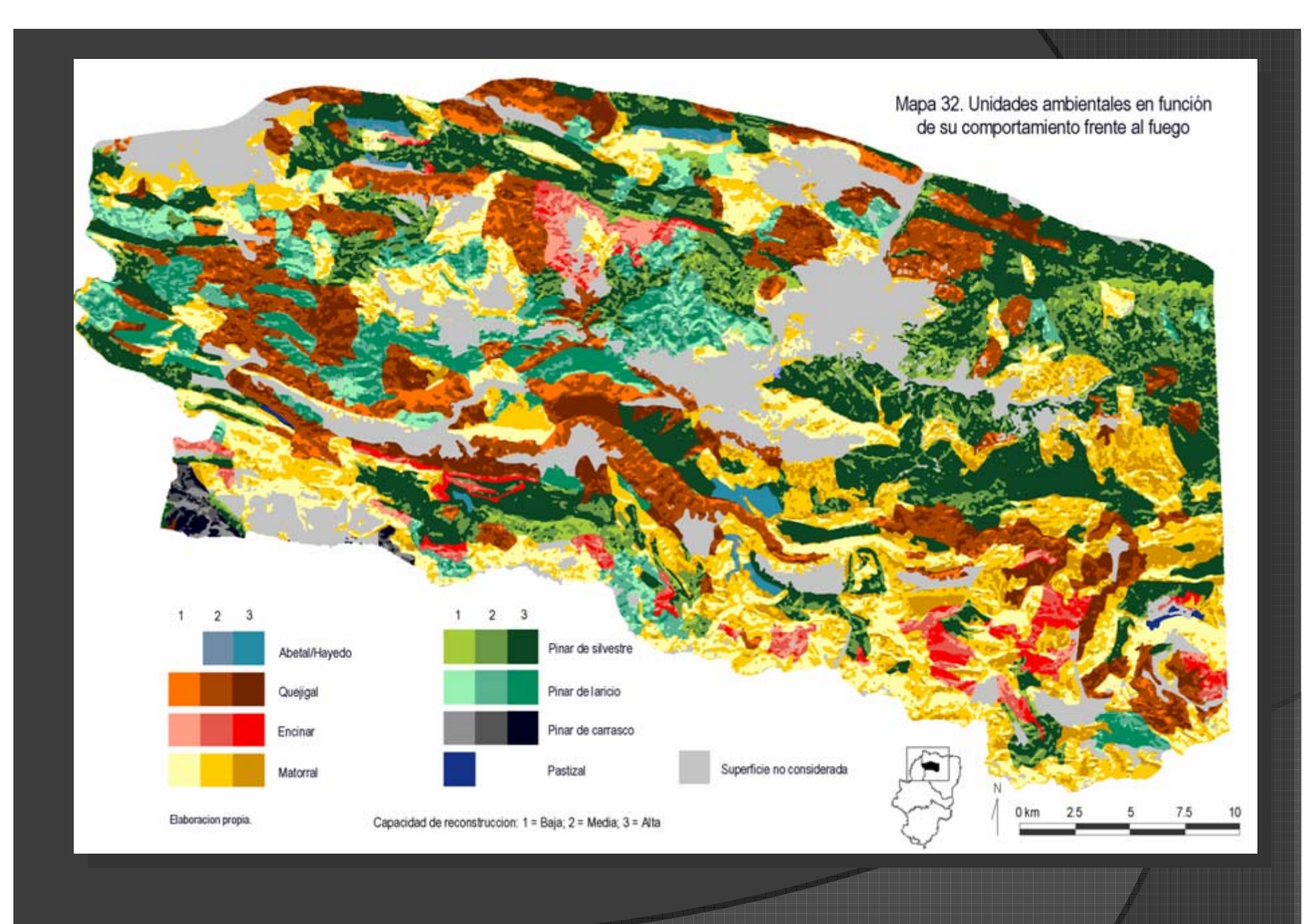


+ Densidad Talla Muy baja ∕Baja i Media Alta Muy alta Muy baja 2 2 3 Baja Media Alta 5 Muy alta 5

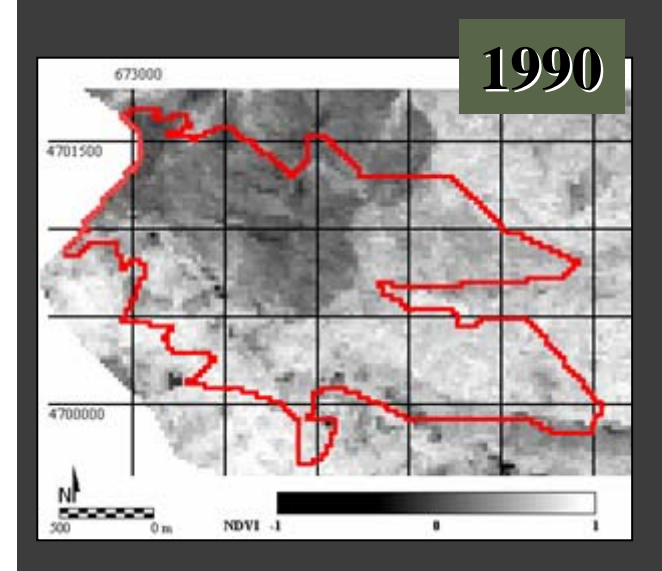
1: Muy bajo. 2: Bajo. 3: Medio. 4: Alto. 5: Muy alto.

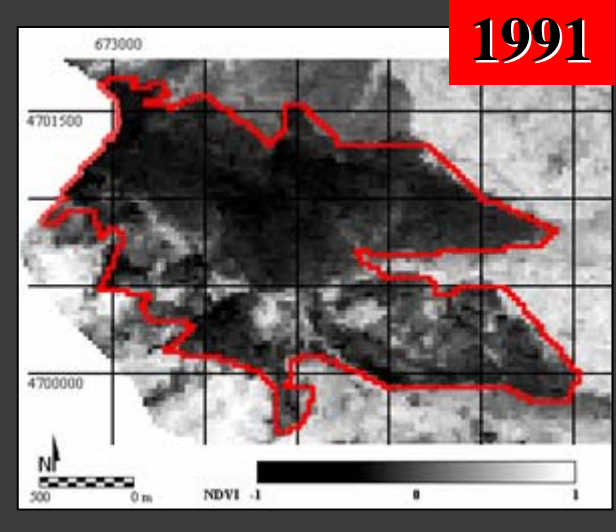


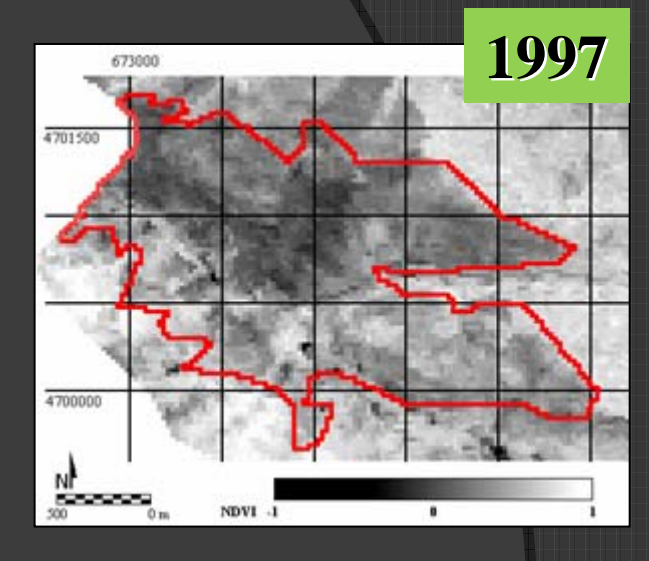




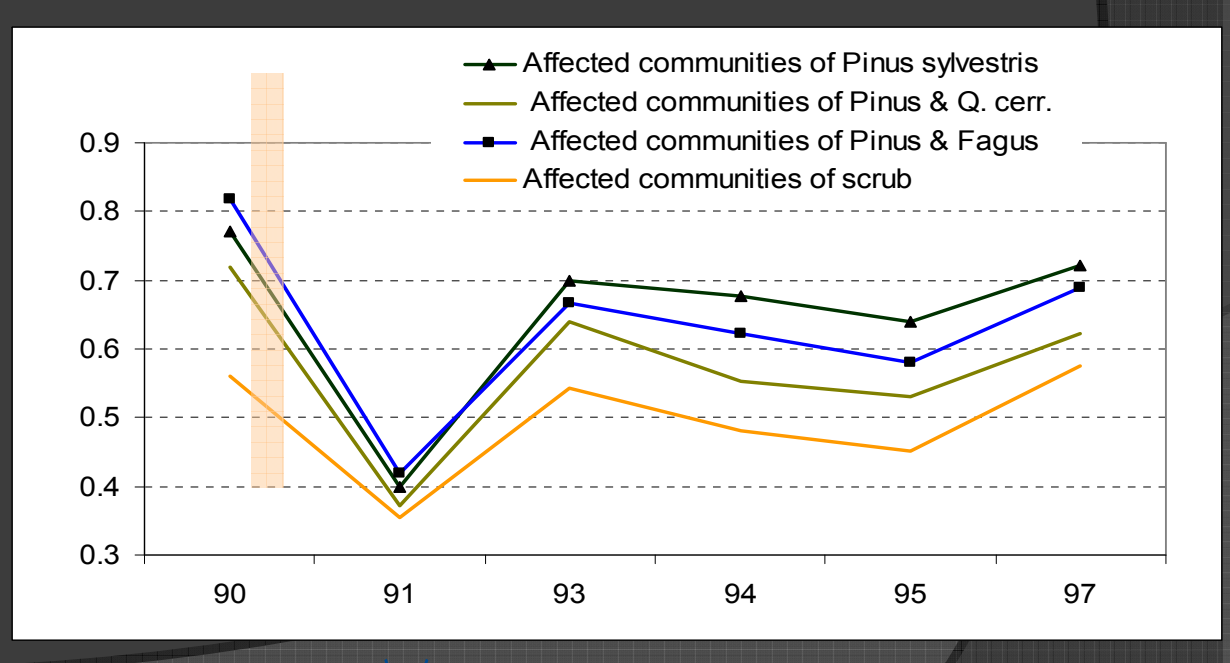








- i. Proceso de corrección geométrica de tipo no orbital (polinomio de orden 2), (*Nearest Neighbour*); malla georeferenciada con píxeles de 25 m.
- ii. Homogenización de las imágenes mediante la conversión a medidas de reflectividad espectral.
- iii. Generación de NDVIs.



Verdad Terreno (protocolo de diagnóstico ambiental en zonas quemadas)

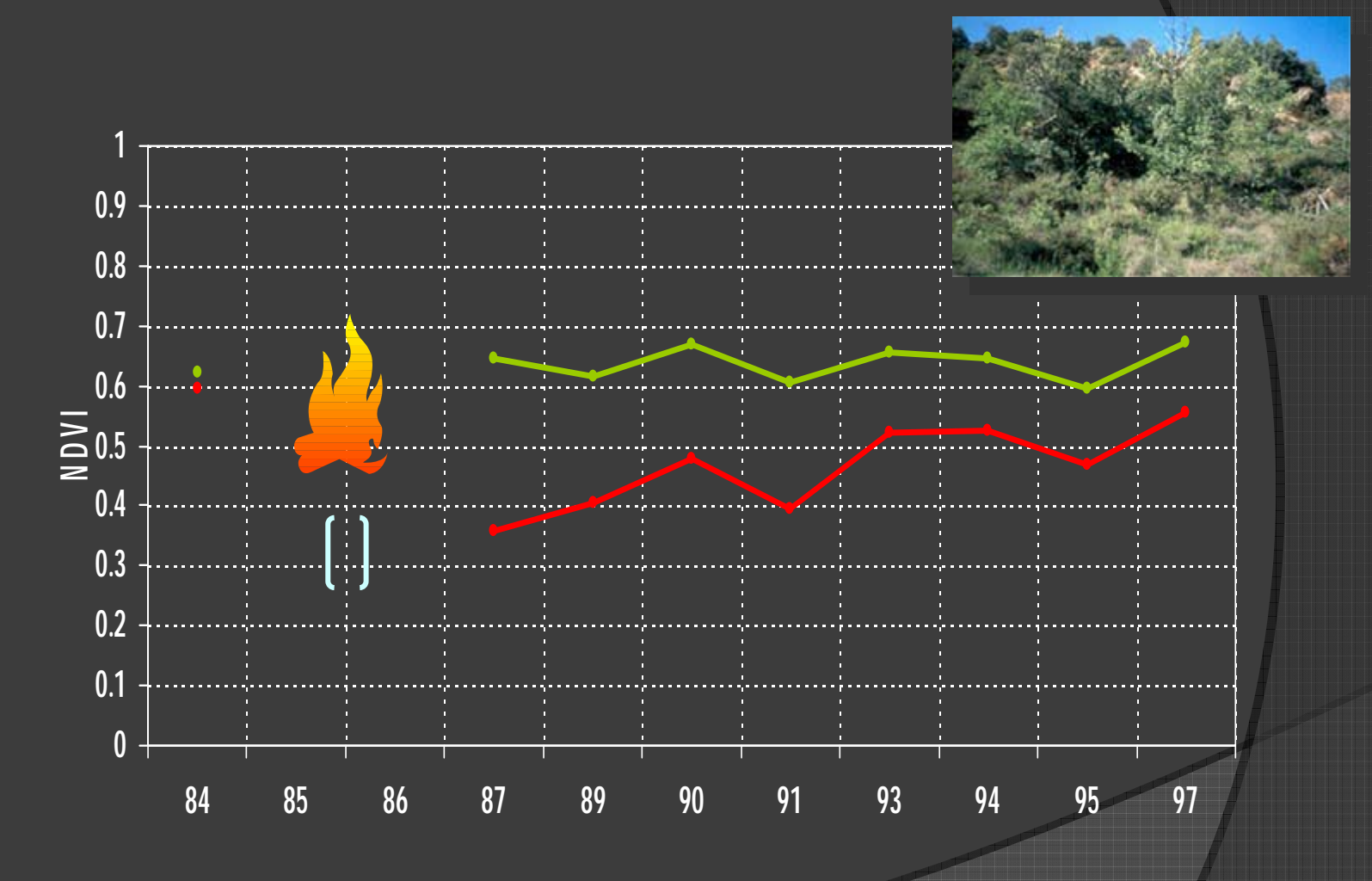
- Ficha-diagnóstico consecuencias a medio plazo
 - El diseño de los indicadores
 - Regeneración vegetal
 - Recubrimiento de los sectores control [veg_t] y quemados [veg_q].
 - La cantidad de vegetación relativa [rec_veq].
 - Diferencias taxonómicas [dif_tax].
 - Diferencias fisionómicas [dif_fis]
 - Actividad geomorfológica
 - Actividad erosiva en los sectores control [ero_t] y quemados [ero_g].
 - Incremento de la actividad erosiva [iae].
 - Degradación edáfica
 - Materia orgánica, estructura, textura, pH,...
- Pérez-Cabello, F.; Ibarra, P.; Echeverría, M.; de la Riva, J. (2009). Postfire land degradation of Pinus sylvestris L. woodlands after 14 years. Land Degradation & Development (LDD-08-0133) doi: 10.1002/ldr.925

FEATURES METHODS Material over roots and branches Scars Methodology for the evaluation Soil loss Erosion pavements of soil degradation (FAO, 1980). Erosion pedestal Perceptual spatial incidence (visual criteria). Ι Exposed roots N Rills D Ι A O horizons 0 Carbonates FAO guide for soil profile descriptions (FAO, 2006) R Shape - pH meter. PEDOLOGIC - Bernard calcimeter, Size - Robison pipette, PARAMETERS Structure degree - Oxidation with potassium dichromate T Consistence in a sulfuric acid medium Y Sands P Silts E Clavs S Organic Matter VEGETATION Floristic inventories Floristic composition Braun-Blanquet (1979) & Bertrand (1966) REGENERATION Vegetation structure



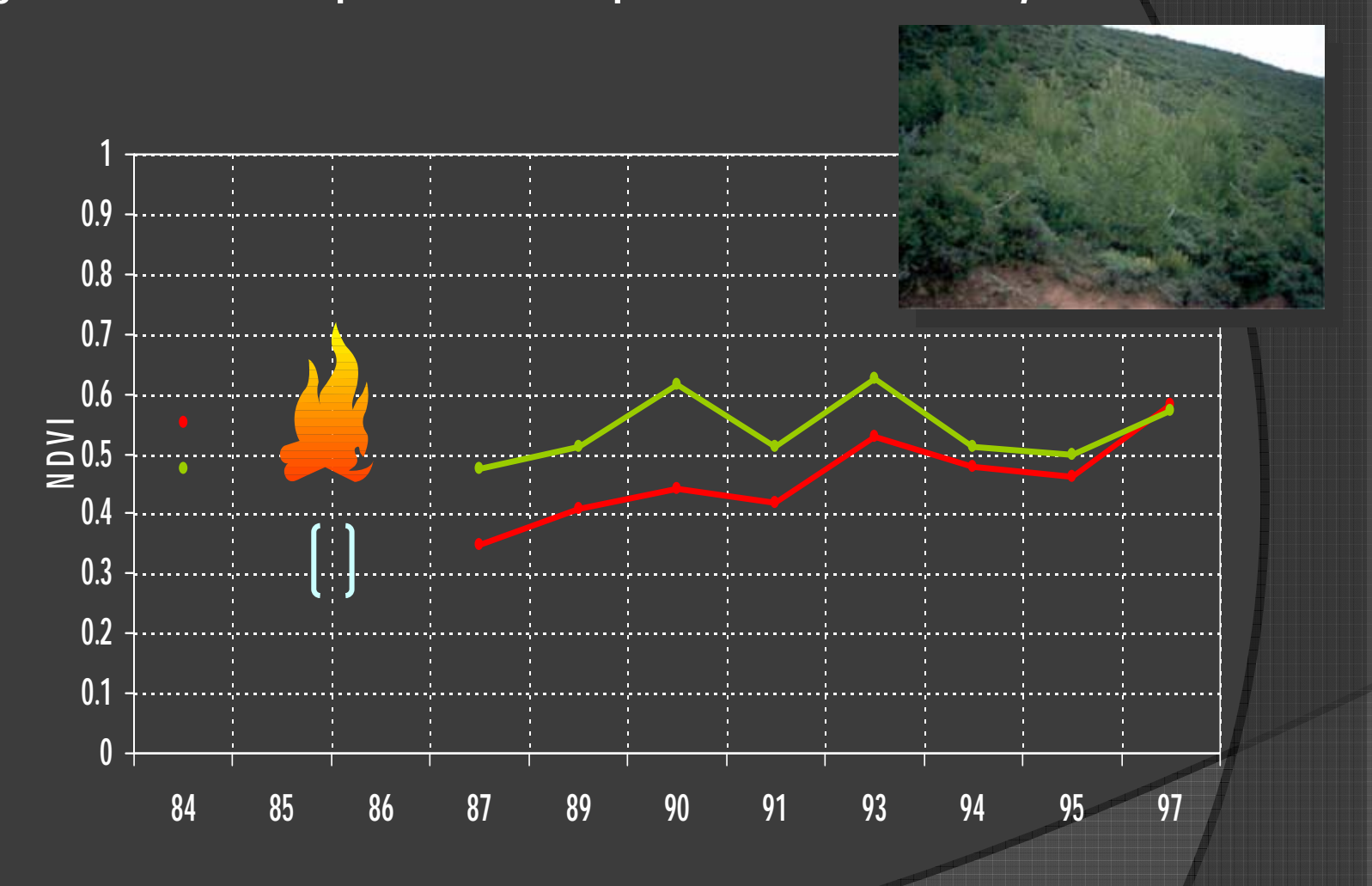


Seguimiento multitemporal de la recuperación de Quercus rotundifolia.





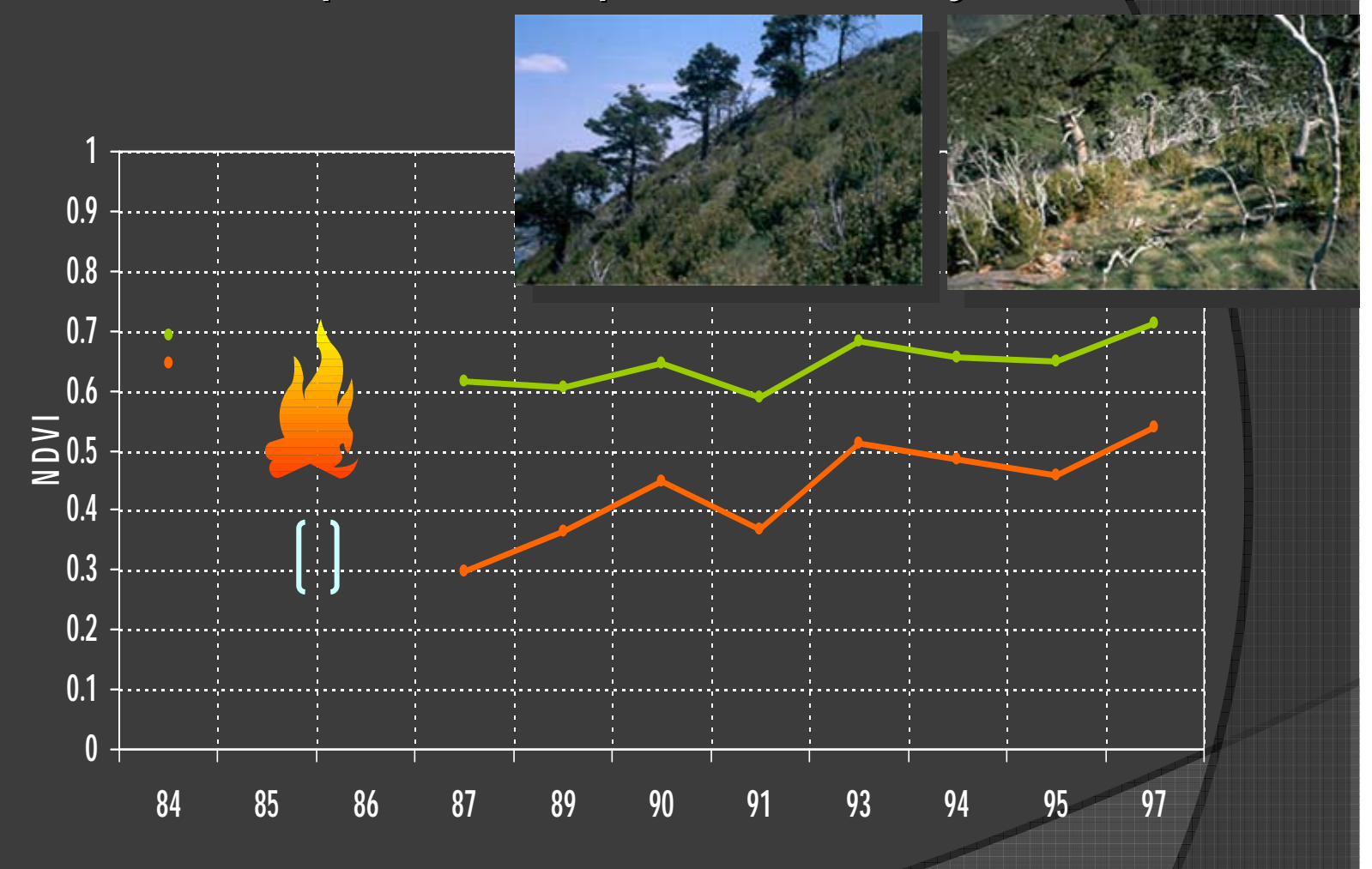
Seguimiento multitemporal de la recuperación de Pinus halepensis





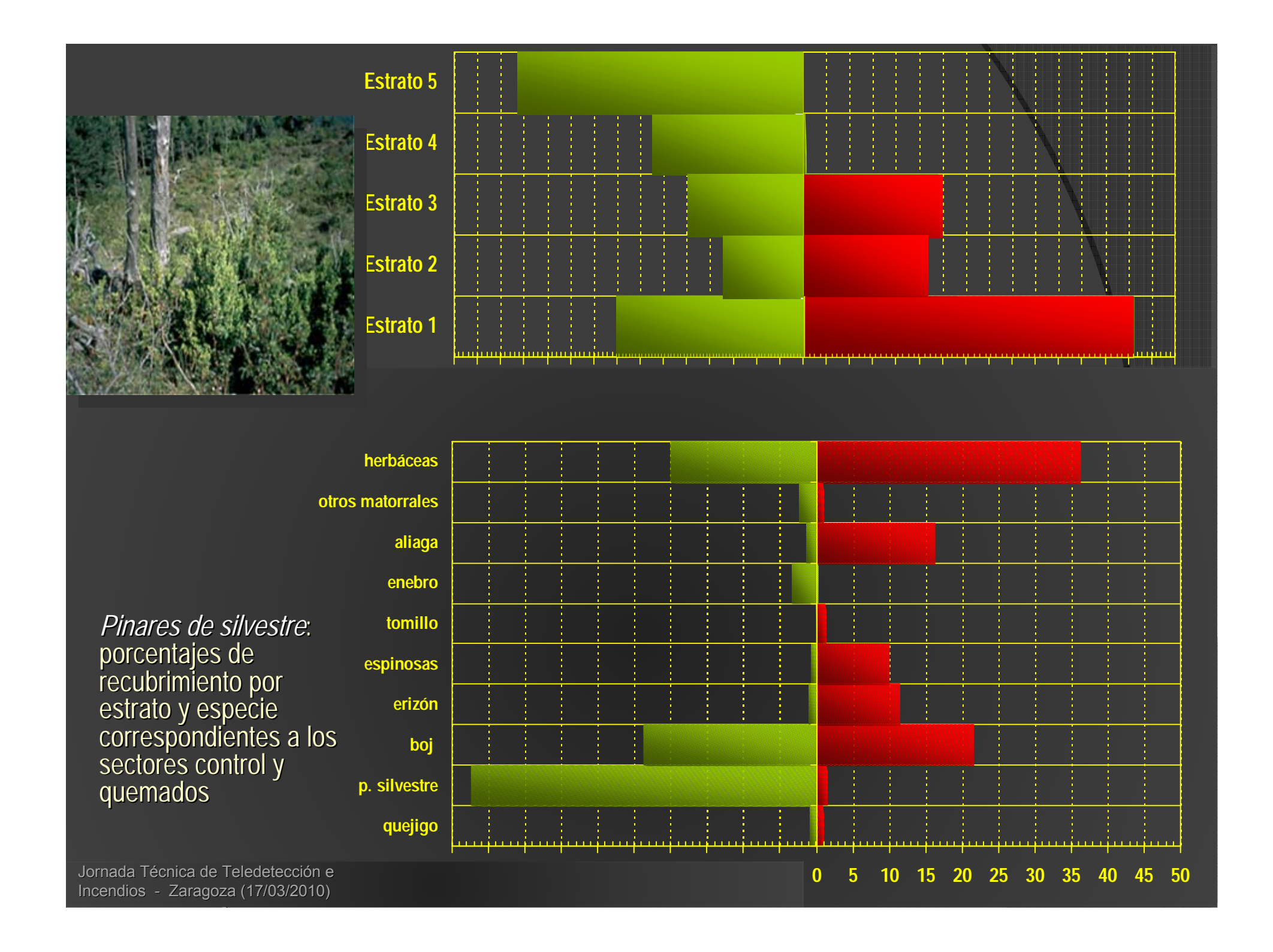


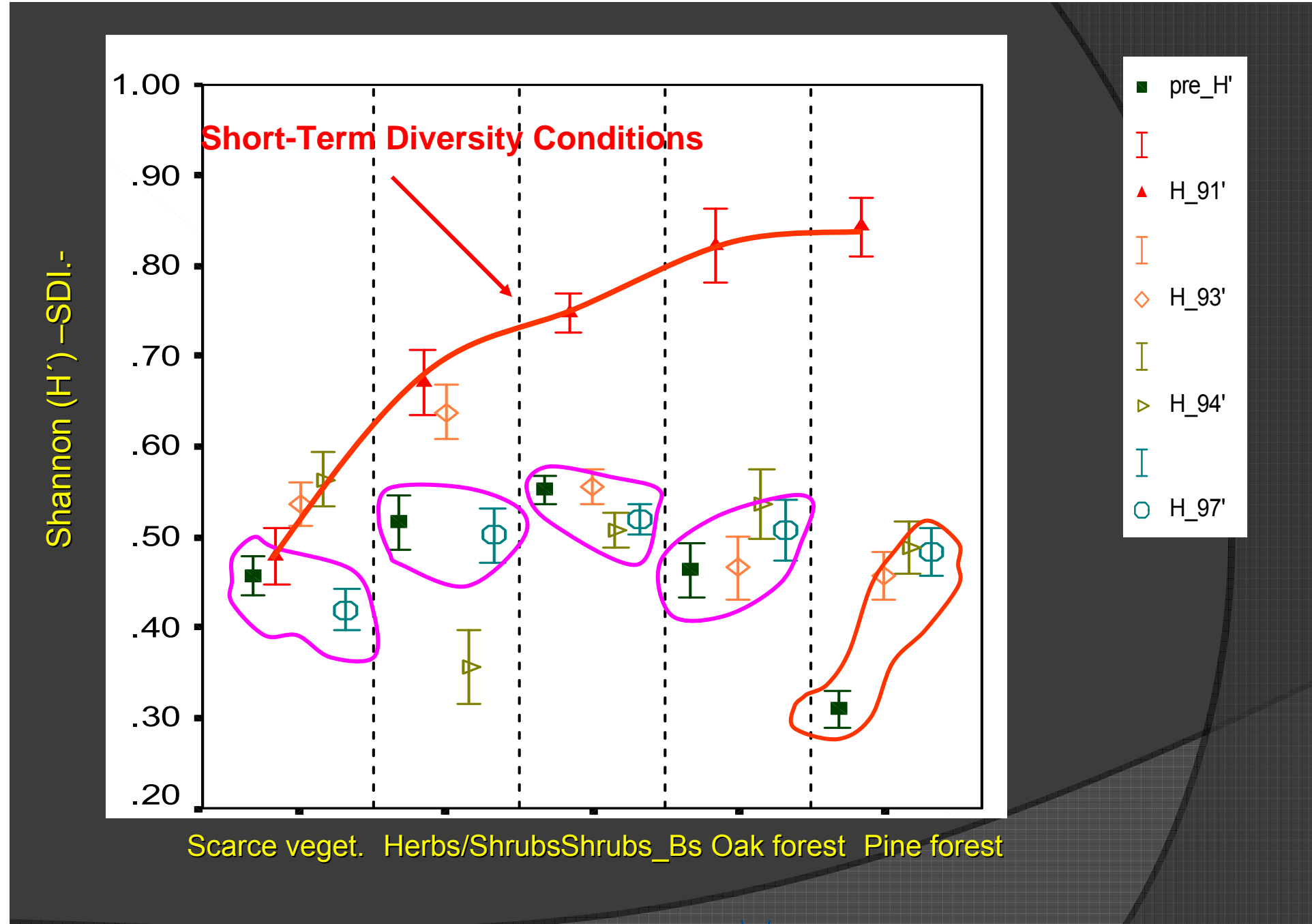
Seguimiento multitemporal de la recuperación de Pinus sylvestris.





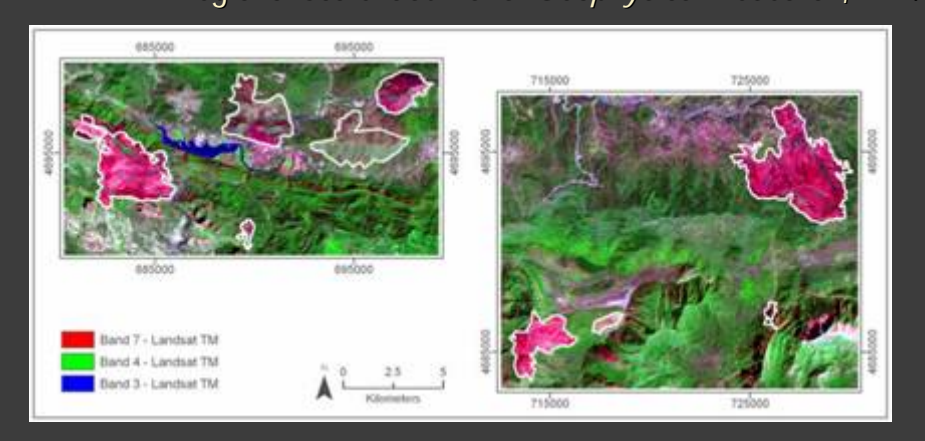






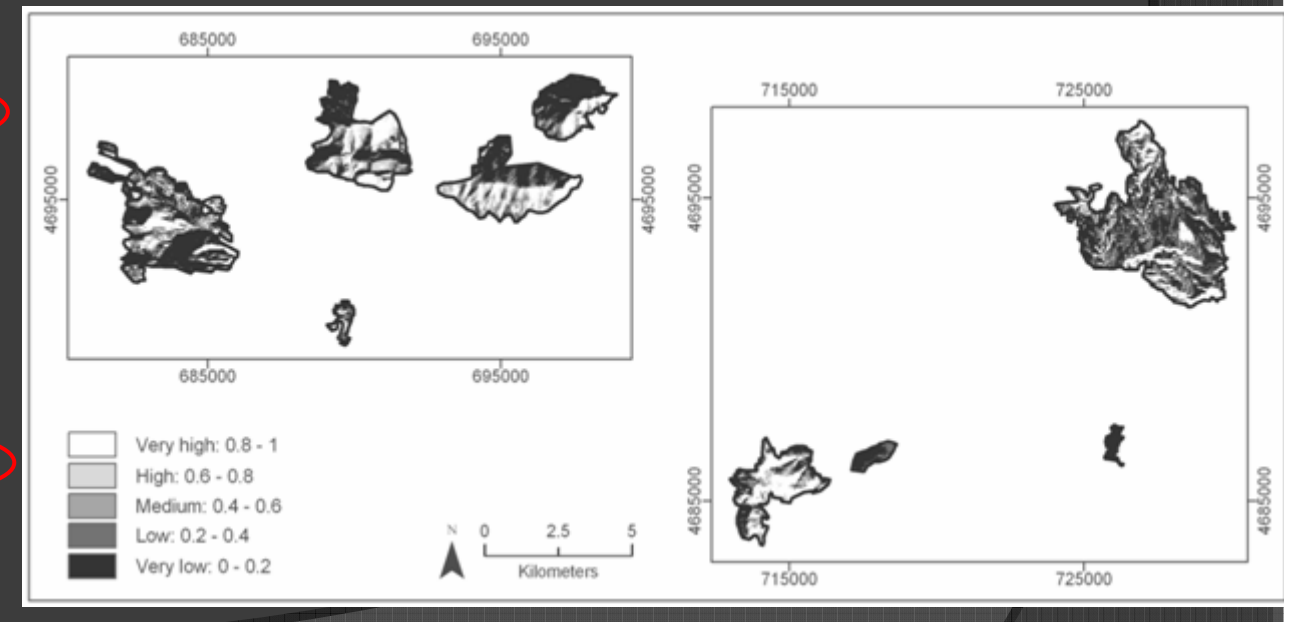


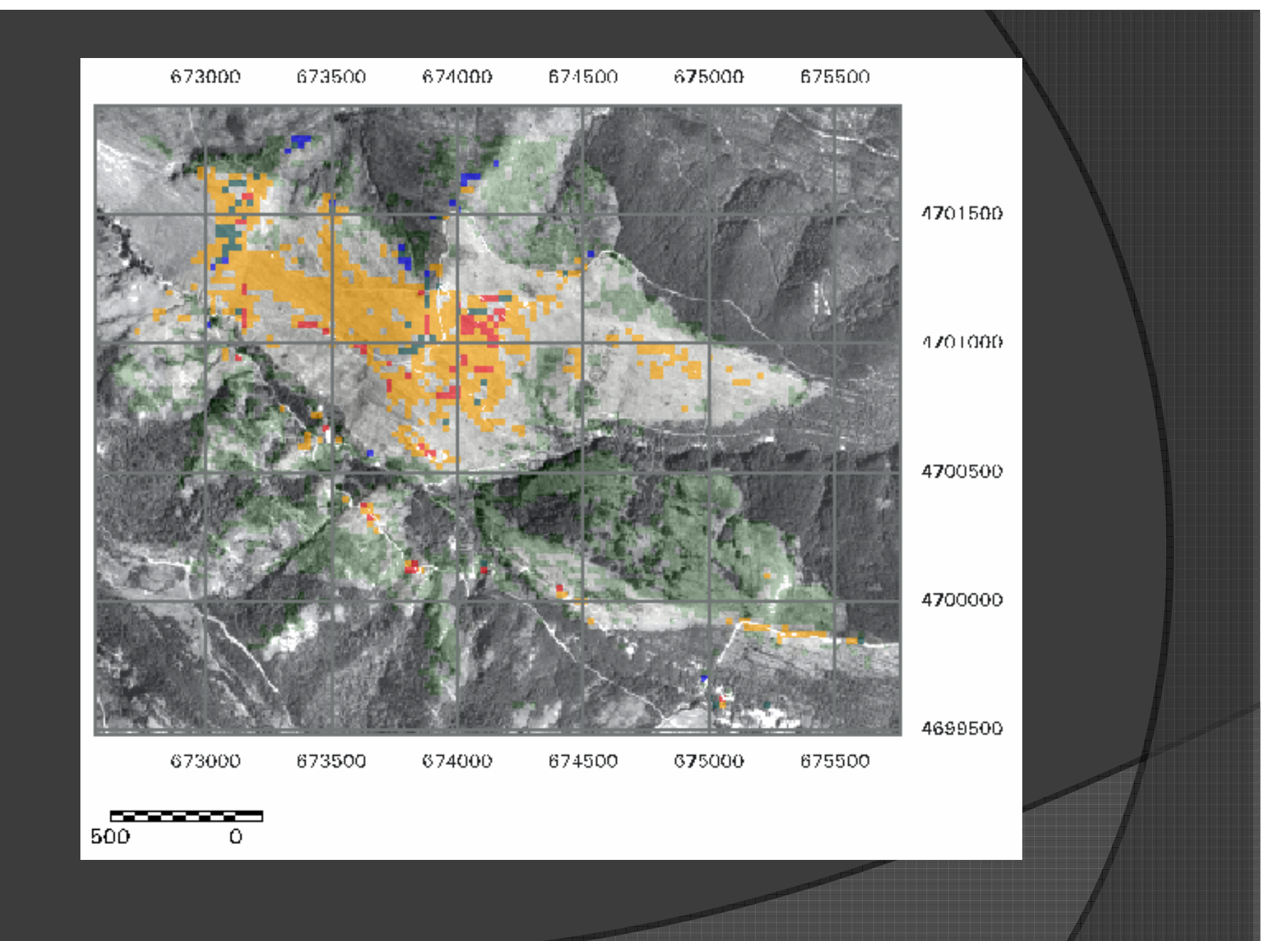
— Pérez-Cabello, F.; de la Riva, J.; Montorio, R.; García-Martín, A. (2006). Mapping erosion-sensitive areas after wildfires using fieldwork, remote sensing, and geographic information systems techniques on a regional scale. *Journal of Geophysical Research*, 111.



n-Martín, A. ng fieldwork, niques on a	SPAN SPAN TODOS TODOS TODOS TODOS	Trifuse Tables T
Hard rocks - limestones and sand Soft rocks - sits and clays N 0 1 2 Killometers	b) Stones High	North East West South

Fire Years	Variables	b (estmated coefficient)		
1985	Aspect	2.971		
	NDVI	-7.345		
	Constant	2.807		
1986	ΔNBR	0.006		
	Elevation	0.003		
	Ilumination	0.086		
	Aspect	3.052		
	NDVI	-9.765		
	TM band_7	0.034		
	Constant	-10.271		







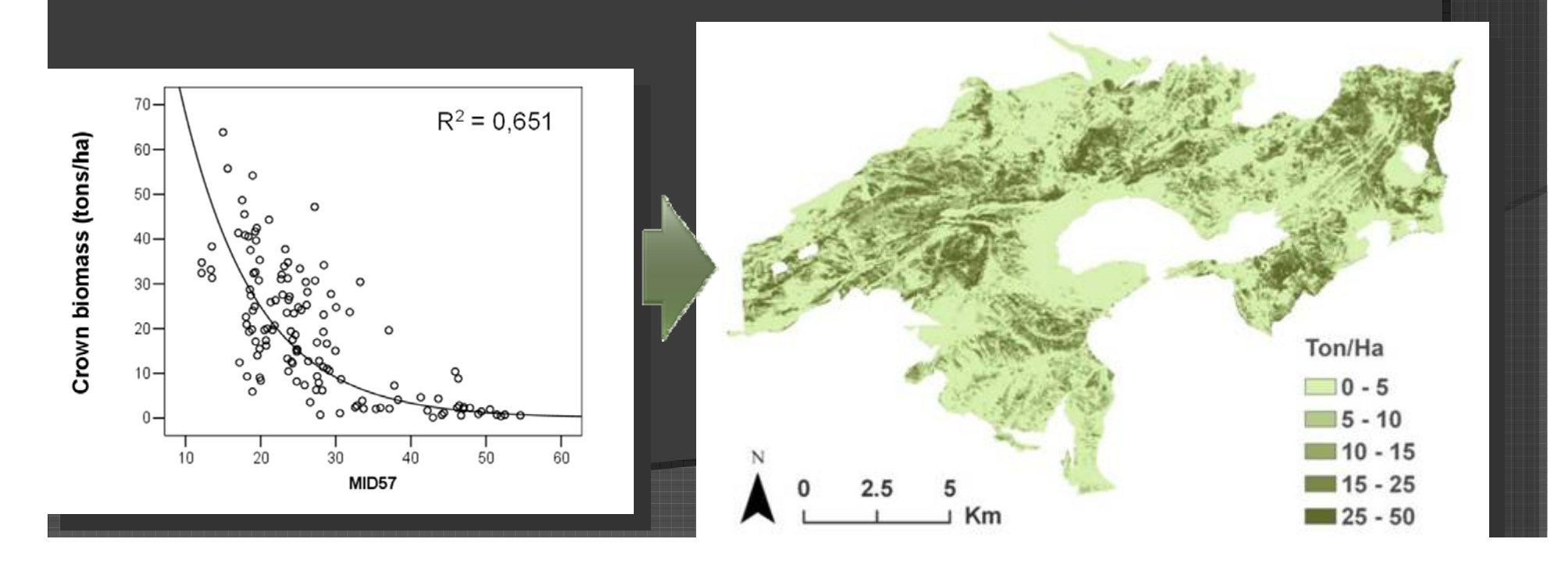
Estudio de las relaciones entre biomasa residual forestal y severidad

1. Estimación de biomasa de las copas

Biomasa de las copas: hojas, ramas y raberón (20% de la biomasa total)

Metodología:

- 1- Estimación de la biomasa de copas en parcelas del IFN-2 mediante ecuaciones creadas a partir de muestreo destructivo → 482 parcelas
- 2- Tratamiento de una imagen Landsat 5 TM registrada durante las tareas de campo del IFN-2 y un mes antes del incendio estudiado (junio de 1994)
- 3- Ensayo de distintos métodos de extracción de la información para mitigar el efecto de la heterogeneidad de los bosques mediterráneos en el establecimiento de modelos



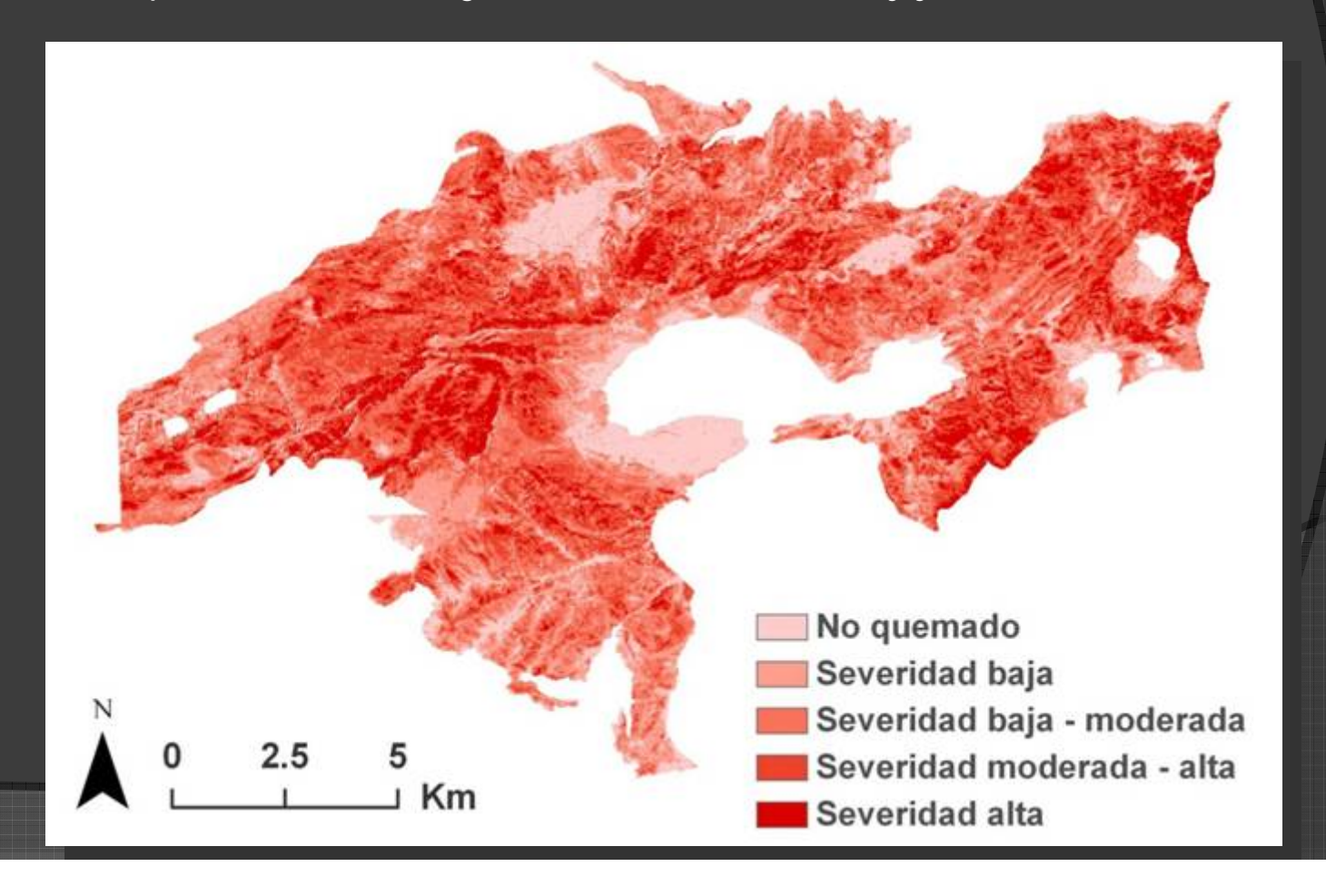
Estudio de las relaciones entre biomasa residual forestal y severidad

2. Estimación de la severidad del incendio del Maestrazgo

Metodología

Cálculo del *Normalized Burn Ratio (NBR)* en la imagen Landsat 5 TM de junio de 1994 y en una imagen Landsat 5 TM registrada unos días después del incendio (agosto de 1994)

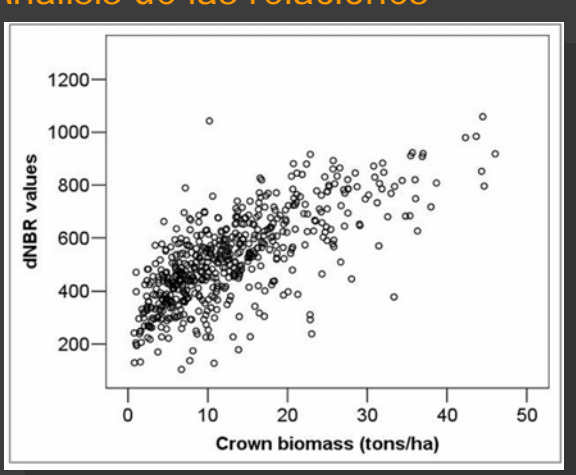
Sustracción de ambas para obtener la imagen de cambio (dNBR) (Key y Benson, 2006)

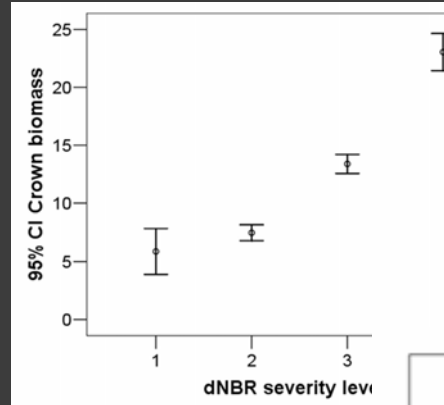


Estudio de las relaciones entre biomasa residual forestal y severidad

3. Resultados

Análisis de las relaciones





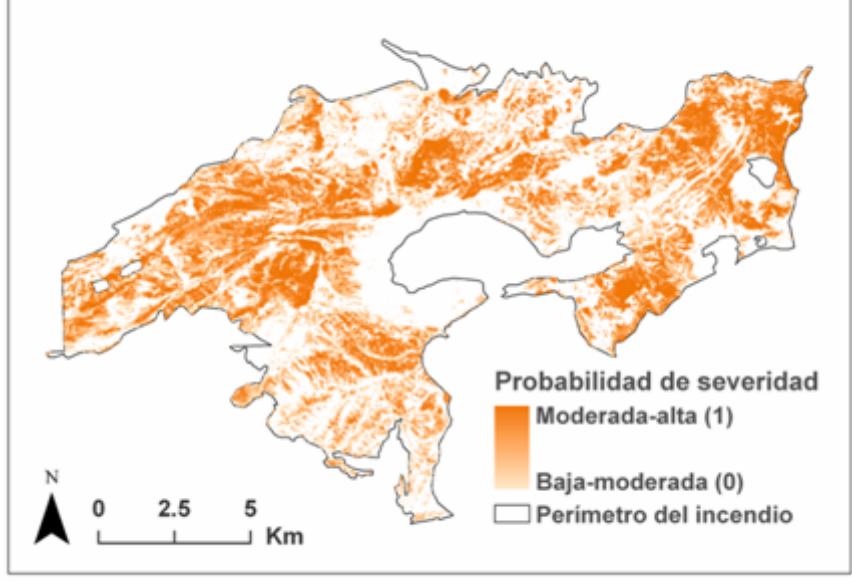
ANOVA Biomasa –dNBR

Relación dNBR - Biomasa

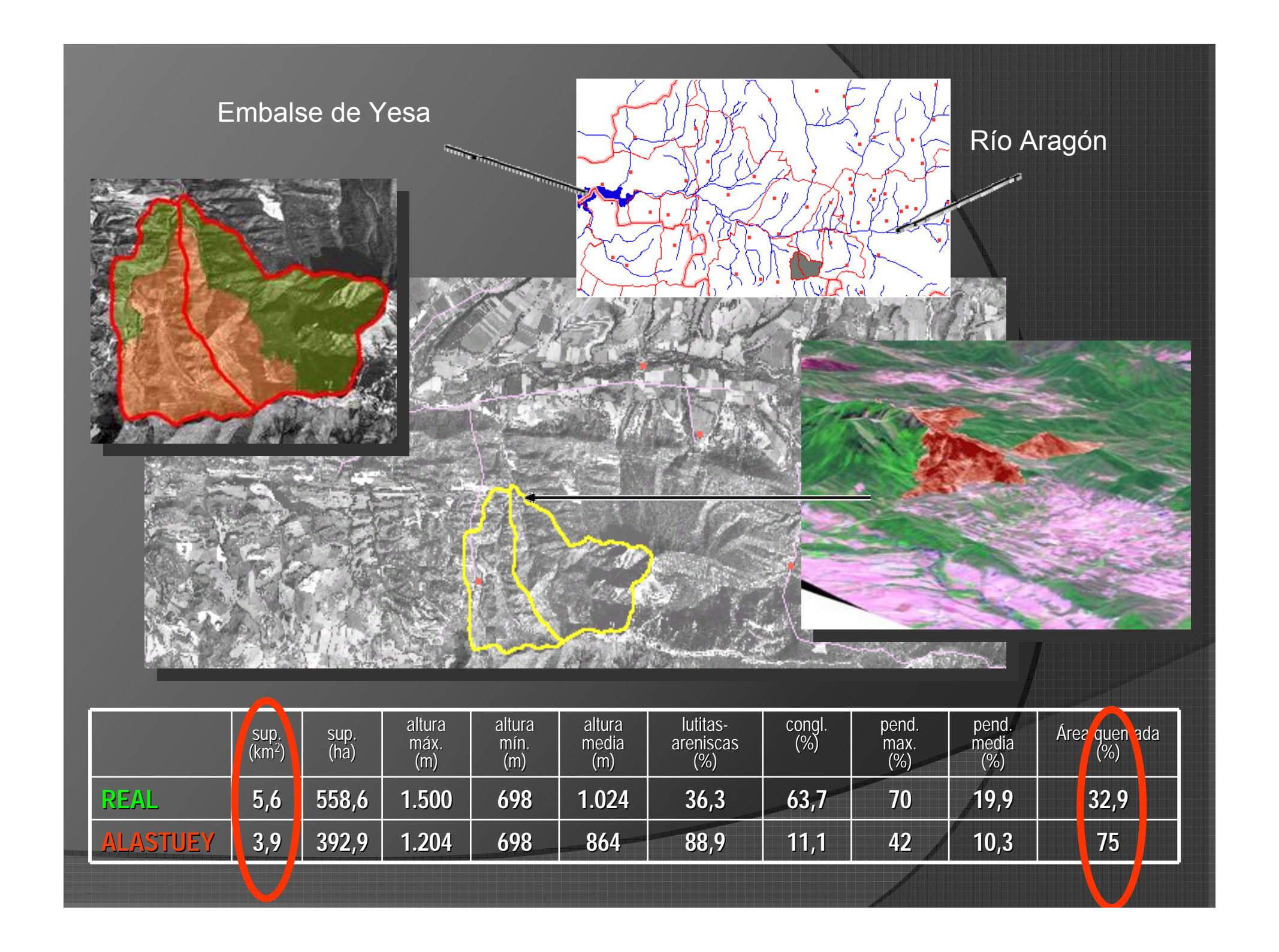
- Ajuste de modelos de probabilidad de ocurrencia

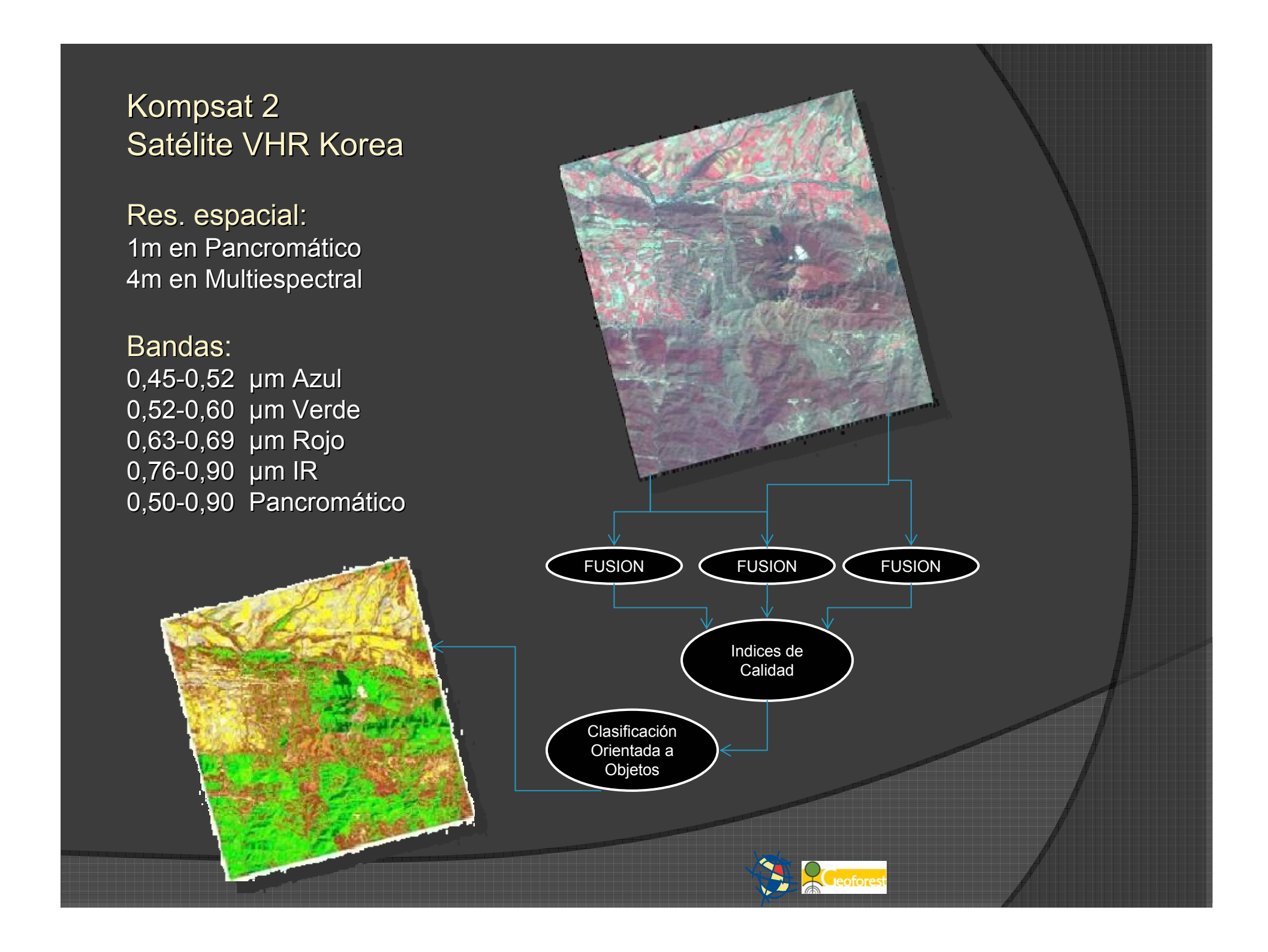
	В	Std. Error	Wald	df	Sig.	Exp(B)
Crown biomass	0.255	0.029	77.150	1	0.000	1.291
Constant	-2.232	0.294	57.535	1	0.000	0.107

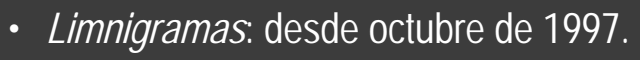
Modelo de regresión logística usando los niveles de dNBR agrupados en 2 categorías (baja -0- y alta -1-)











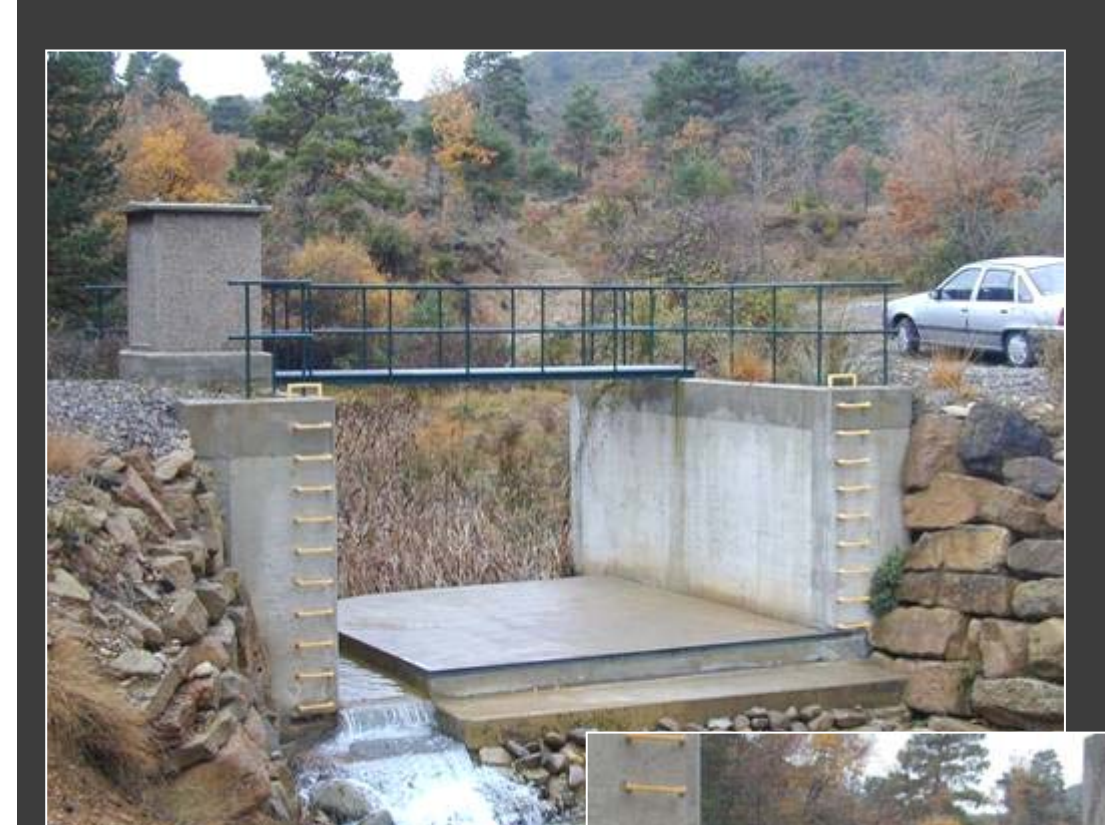
• Datos pluviométricos: desde agosto de 1997.

Datos de sedimento en suspensión y solución: en cada avenida desde 1997 a 1999.

• Datos de carga de fondo: grandes avenidas desde 1997 a 1999.

















GEOFOREST

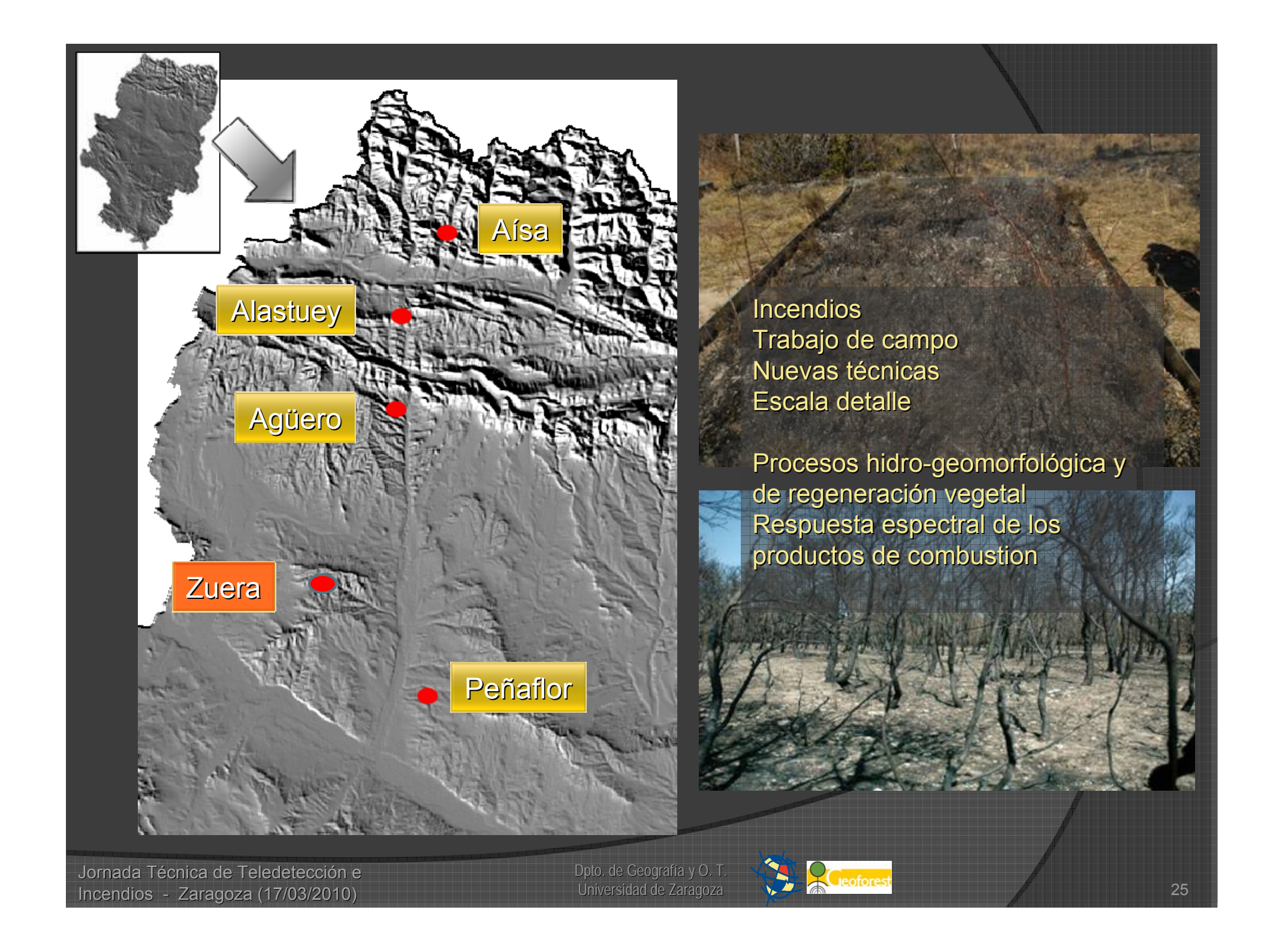
Procesos ge<mark>o-ambientale</mark>s en espacio<mark>s forestales</mark>



http://geoforest.unizar.es/

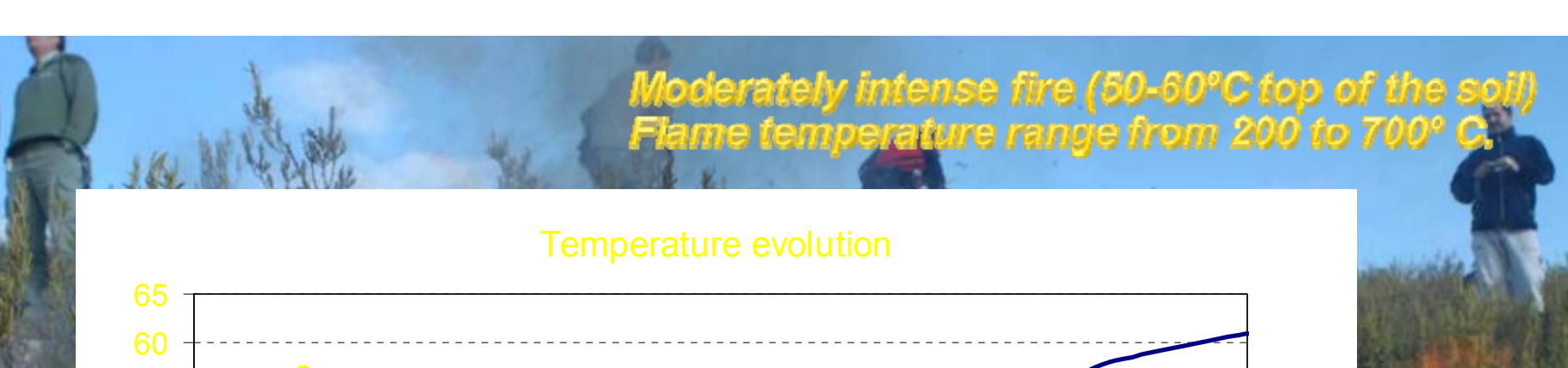
Líneas de investigación en relación con incendios/Teledetección

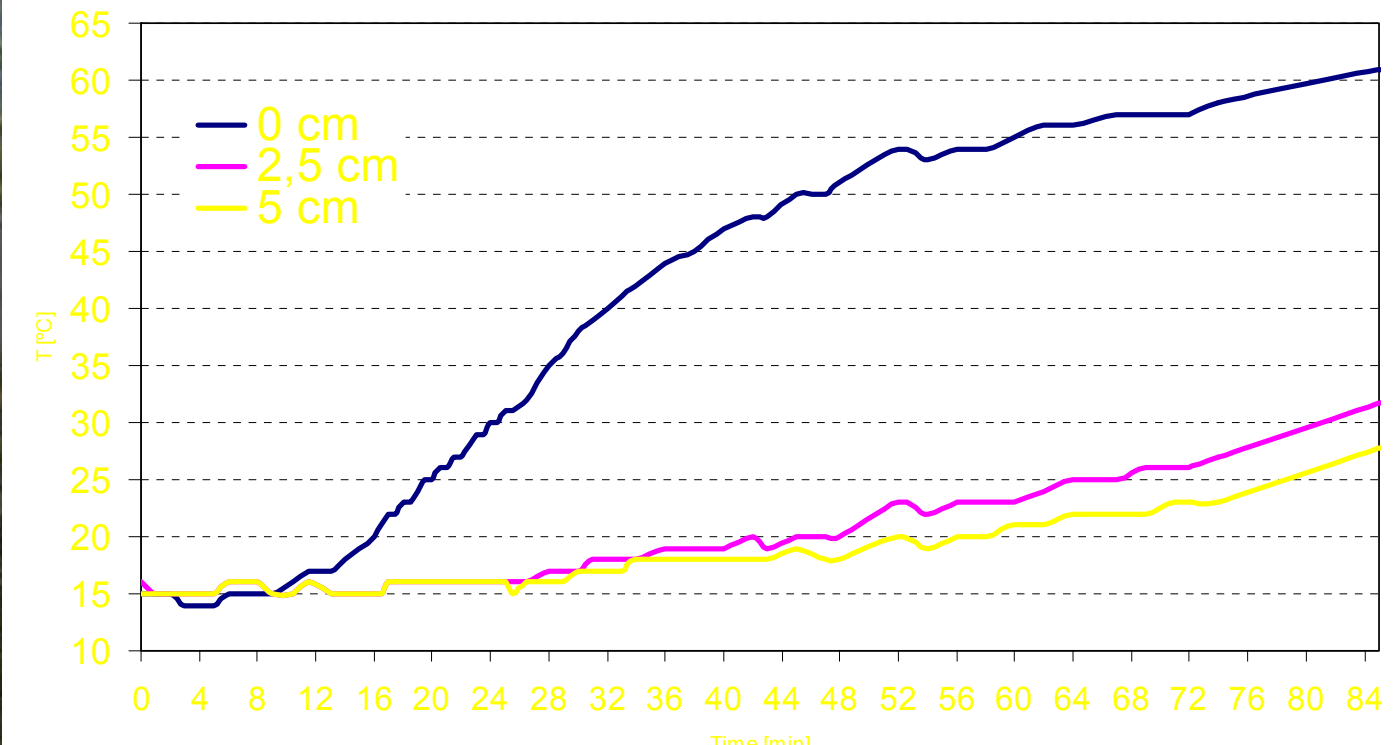
- Análisis de Riesgo (UA, IEGD-CSIC)
- Cartografía y análisis de procesos ambientales postincendio
 - Teledetección espacial y SIG para
 - La detección de incendios
 - El seguimiento multitemporal
 - La modelización de la vulnerabilidad ecológica
 - Modelización de zonas susceptibles a la erosión
 - El diseño de nuevas metodologías para el análisis del los efectos inmediatos del fuego y la determinación de la severidad (espectro-radiometría de campo, FDARE, SAR).











- Plots were burnt at the end of the 2004 dry season.
- 12 a.m. local time
- NW wind direction with high speed.
- Fires were lit at the bottom side of the plot and left to burn.



Dpto, de Geografía y O. T.



Fotografía digital de alta resolución espacial (FDARE)

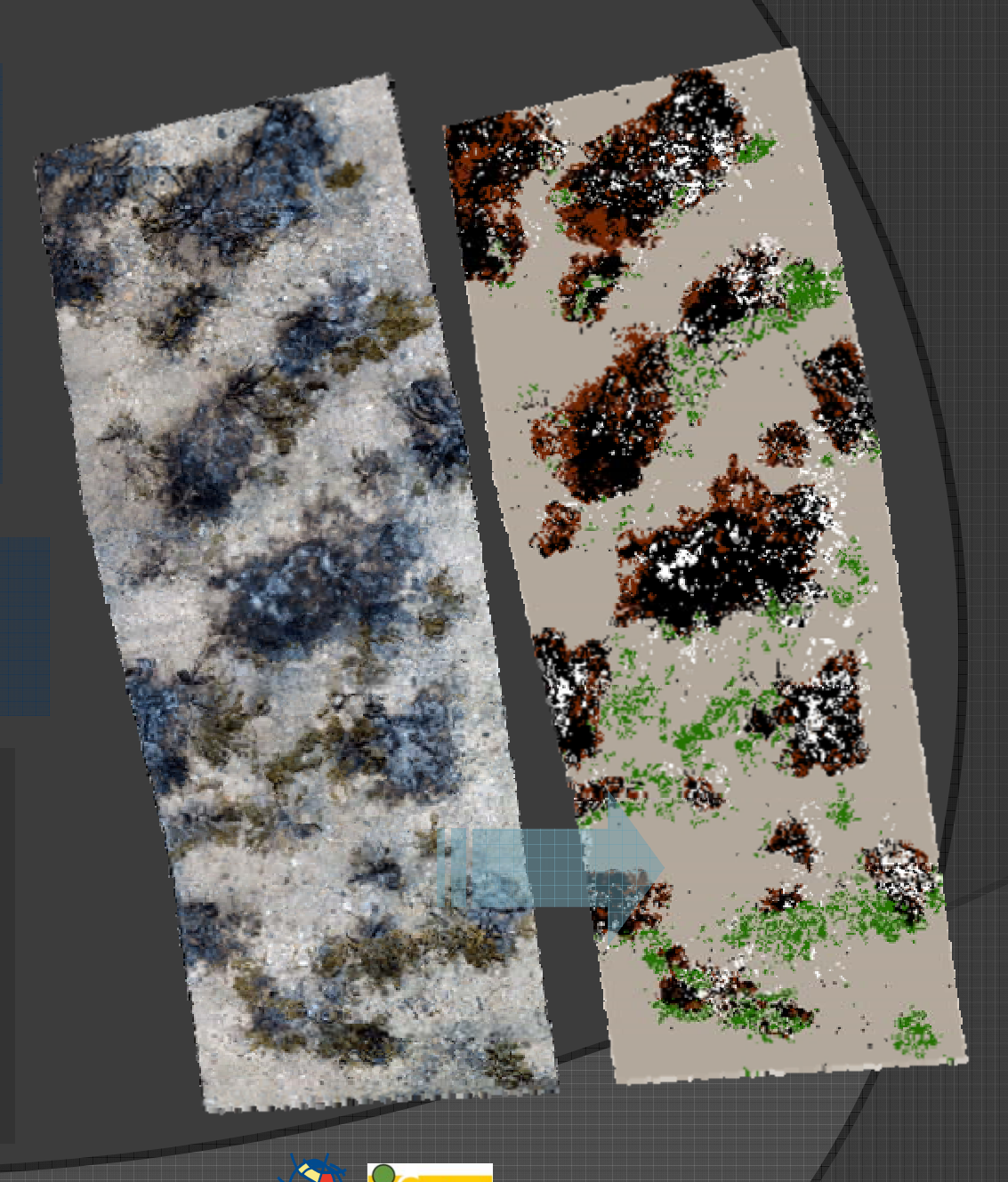
Análisis multitemporal de la respuesta ambiental y la severidad

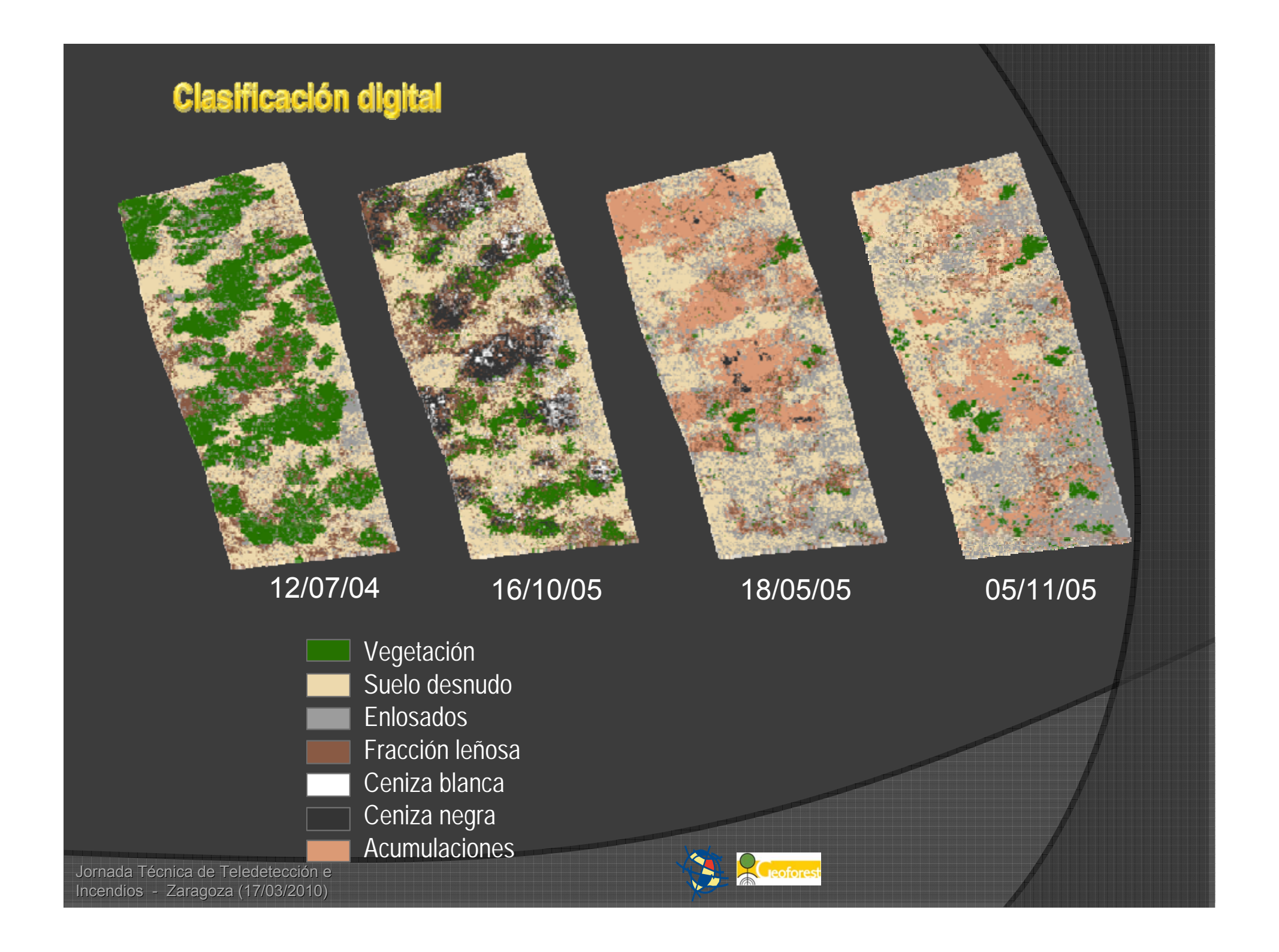


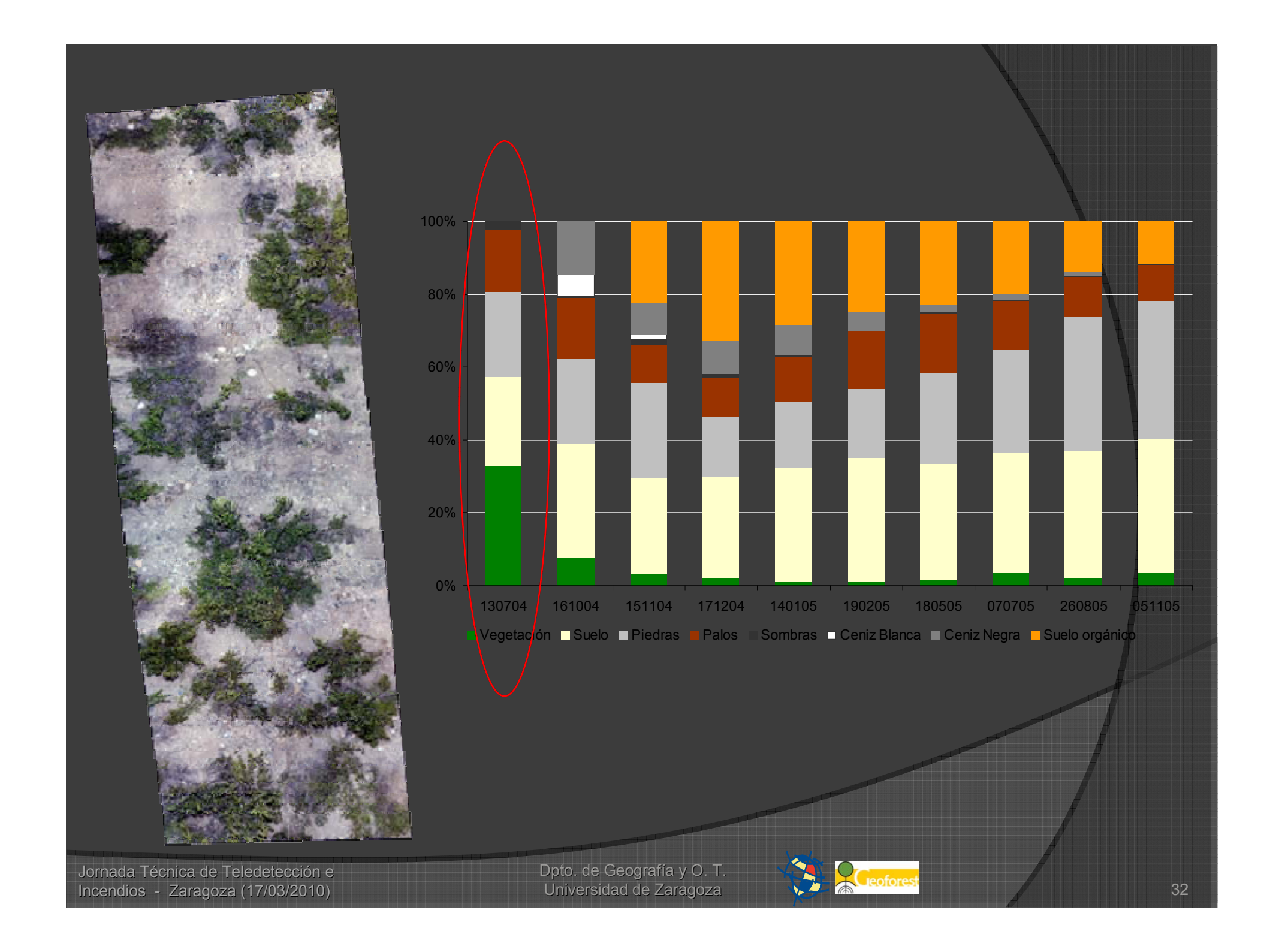
1. Geometric correction

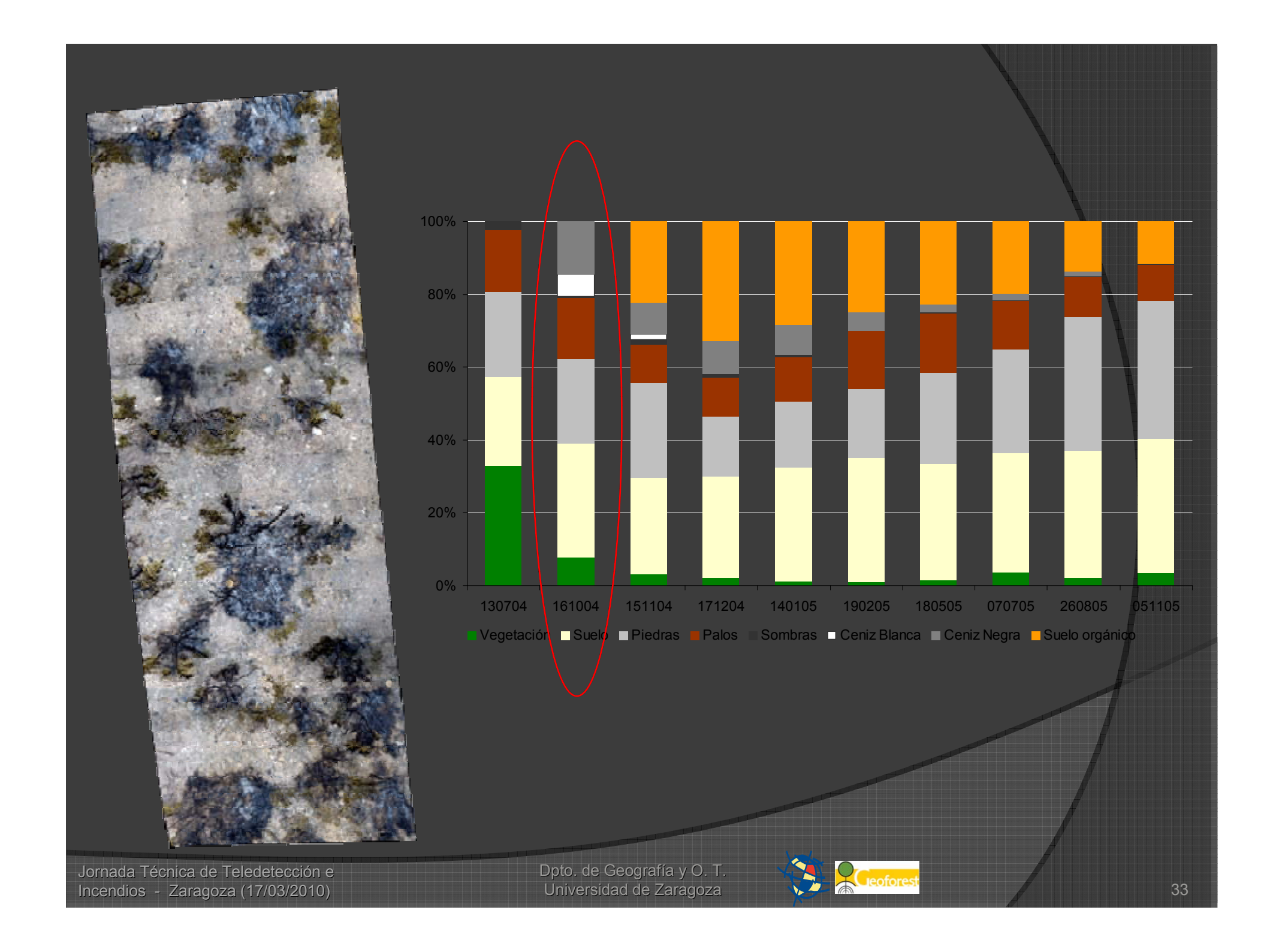
- 30 Ground Control Points (GCPs) of millimetre precision were taken with a Leica GPS500.
- Images were re-projected with an estimated RMSE of 2 cm.
- A nearest neighbour re-sampling technique was used to minimize changes in the radiometric values.
 - 2. Supervised classification process
 - Maximum-likelihood method

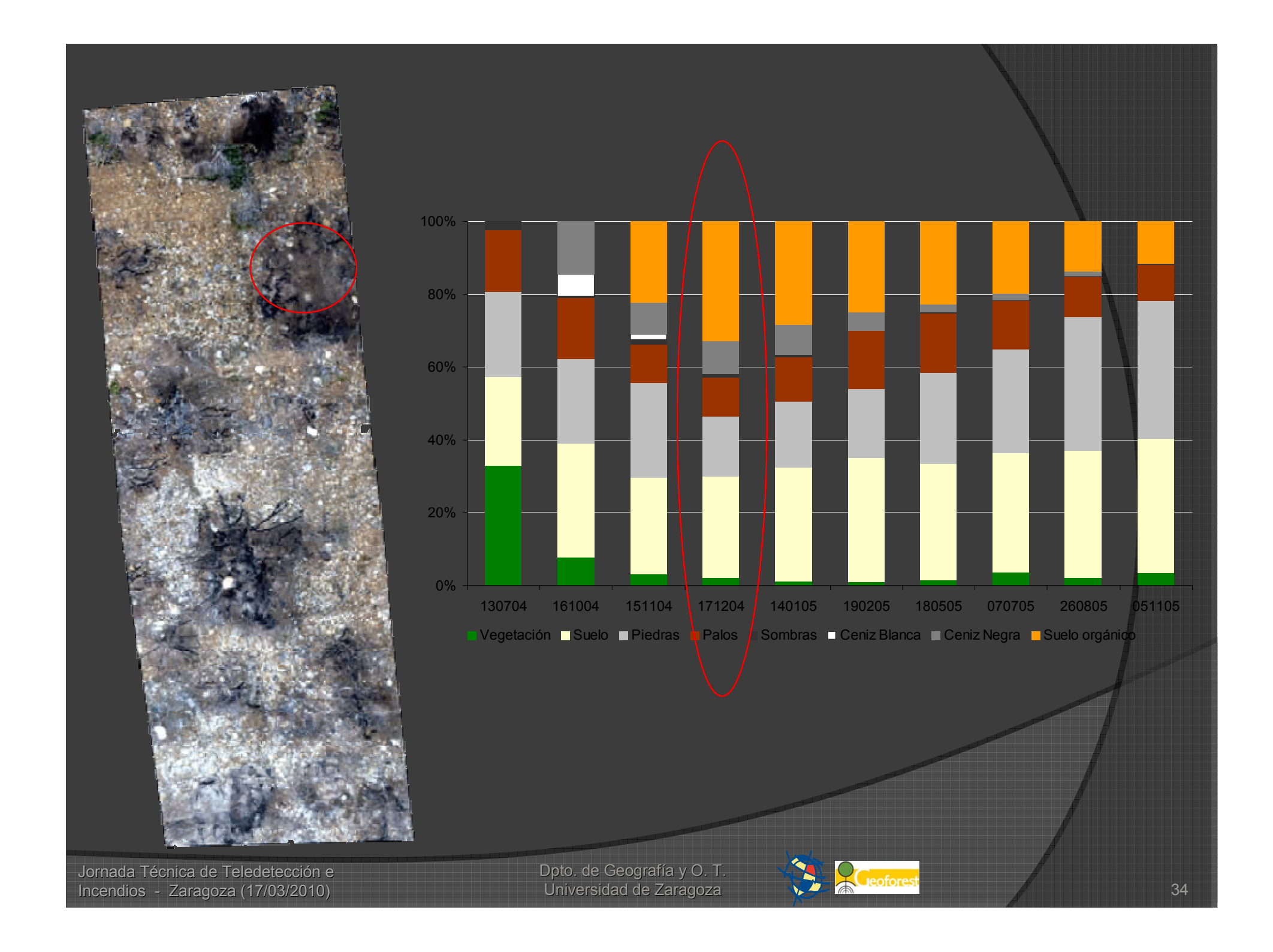


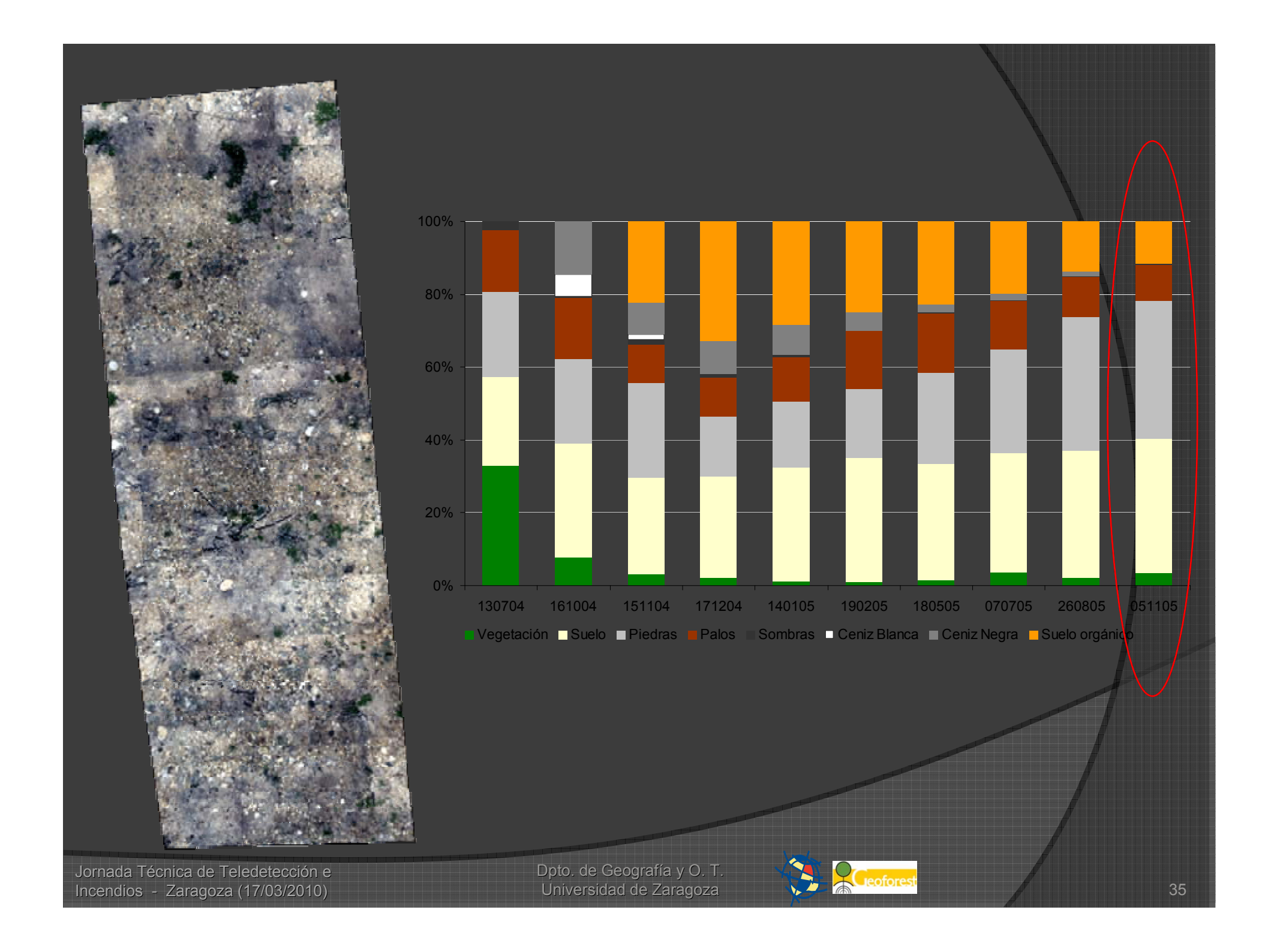


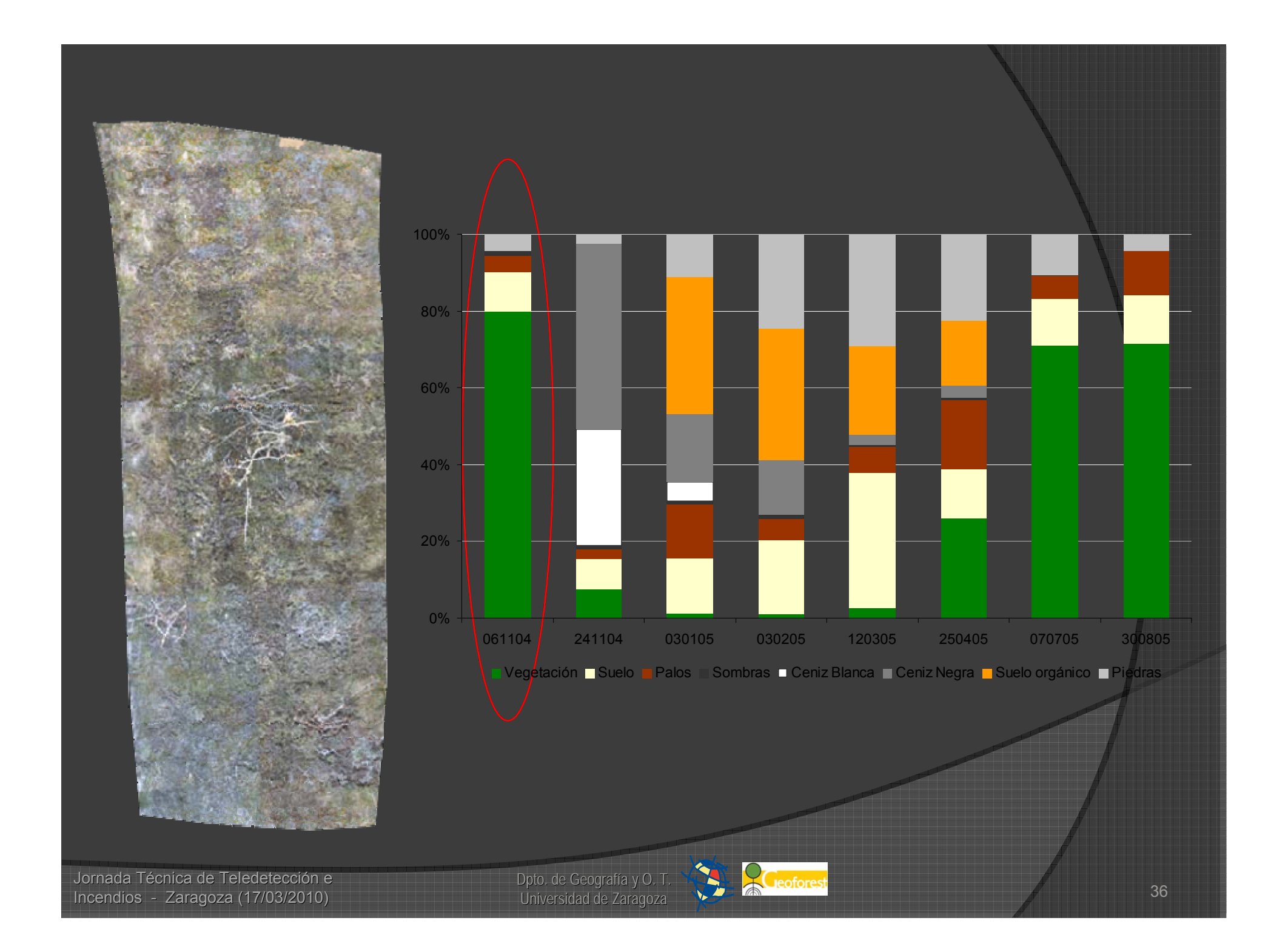


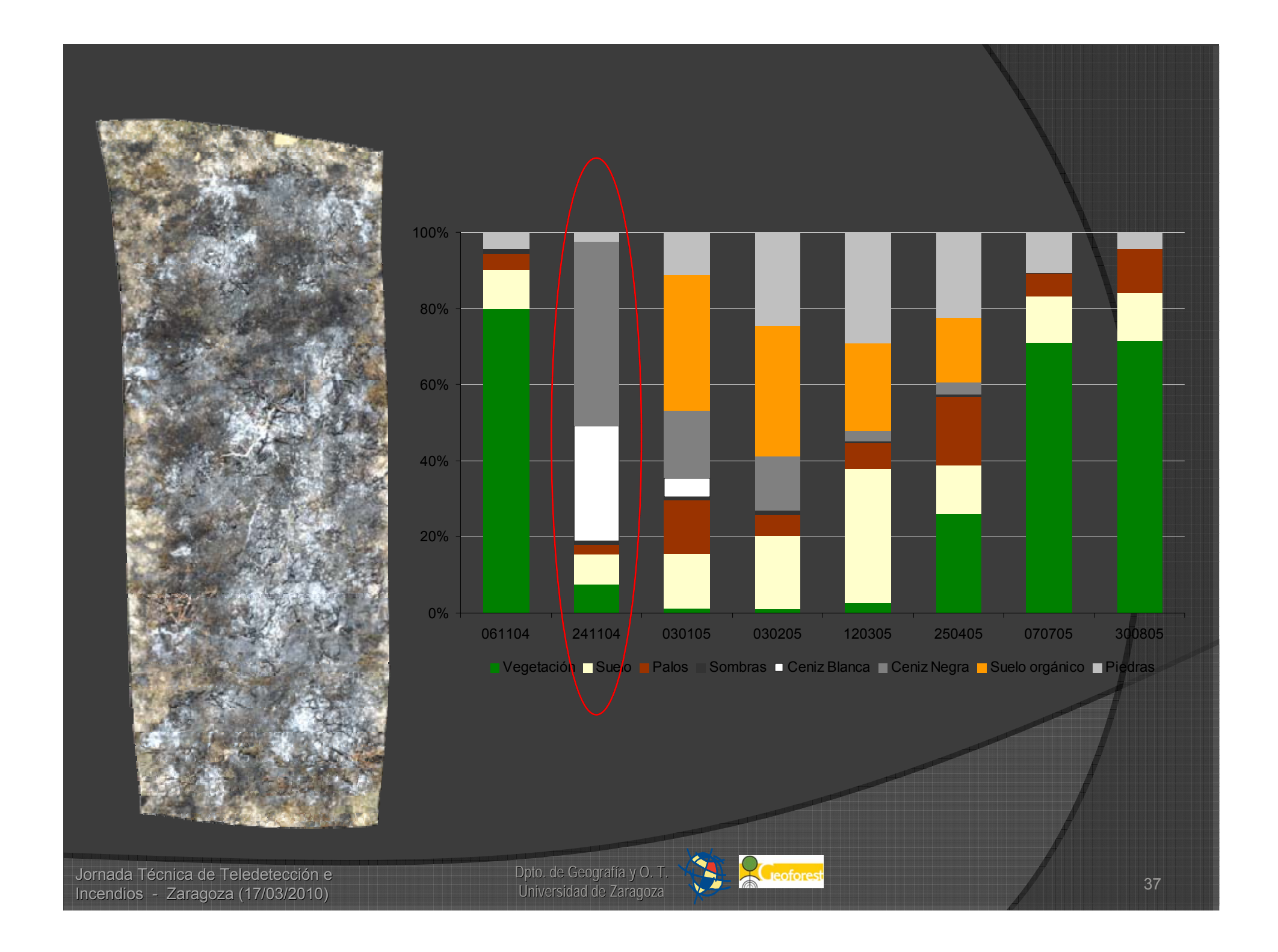


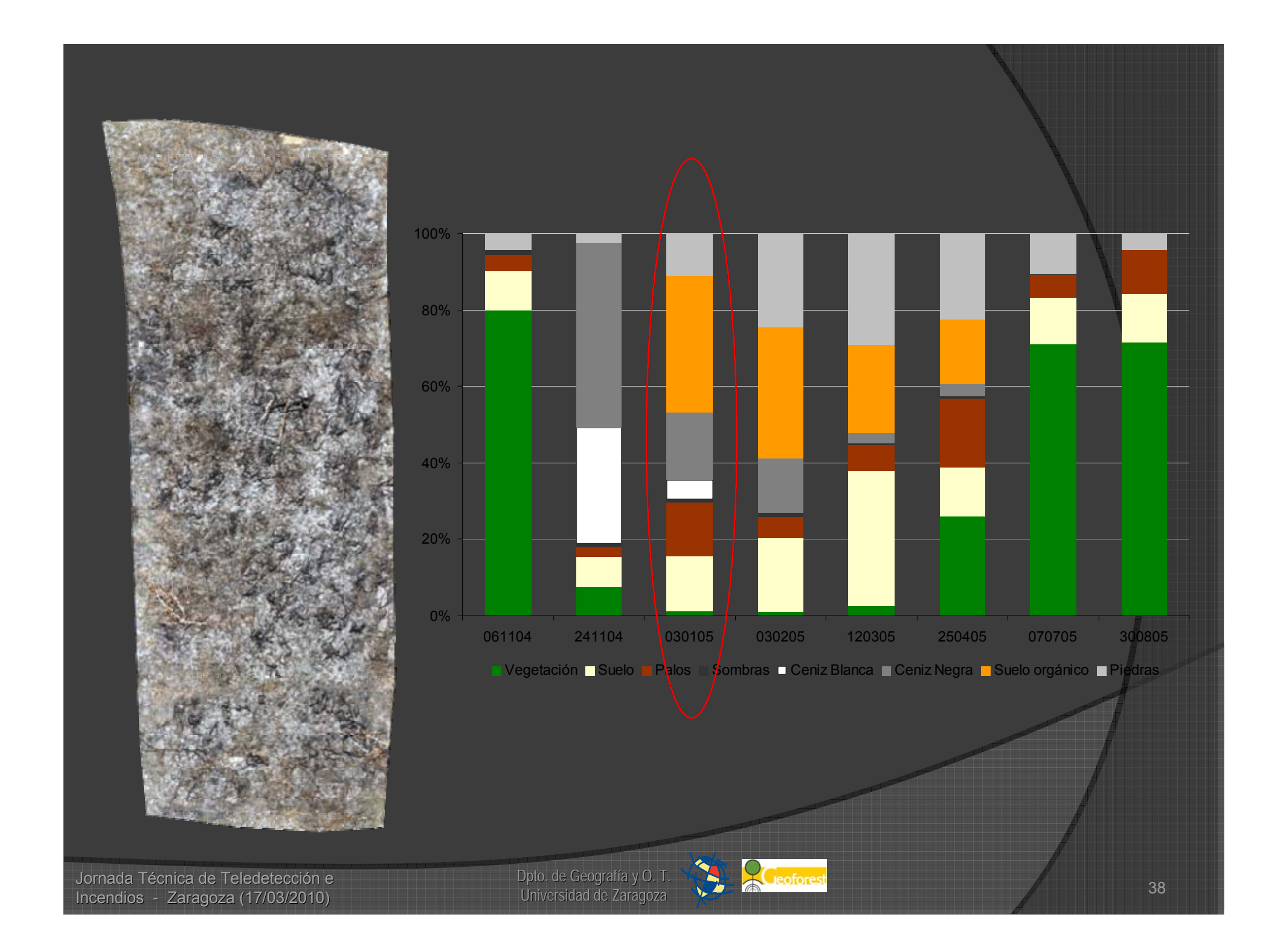


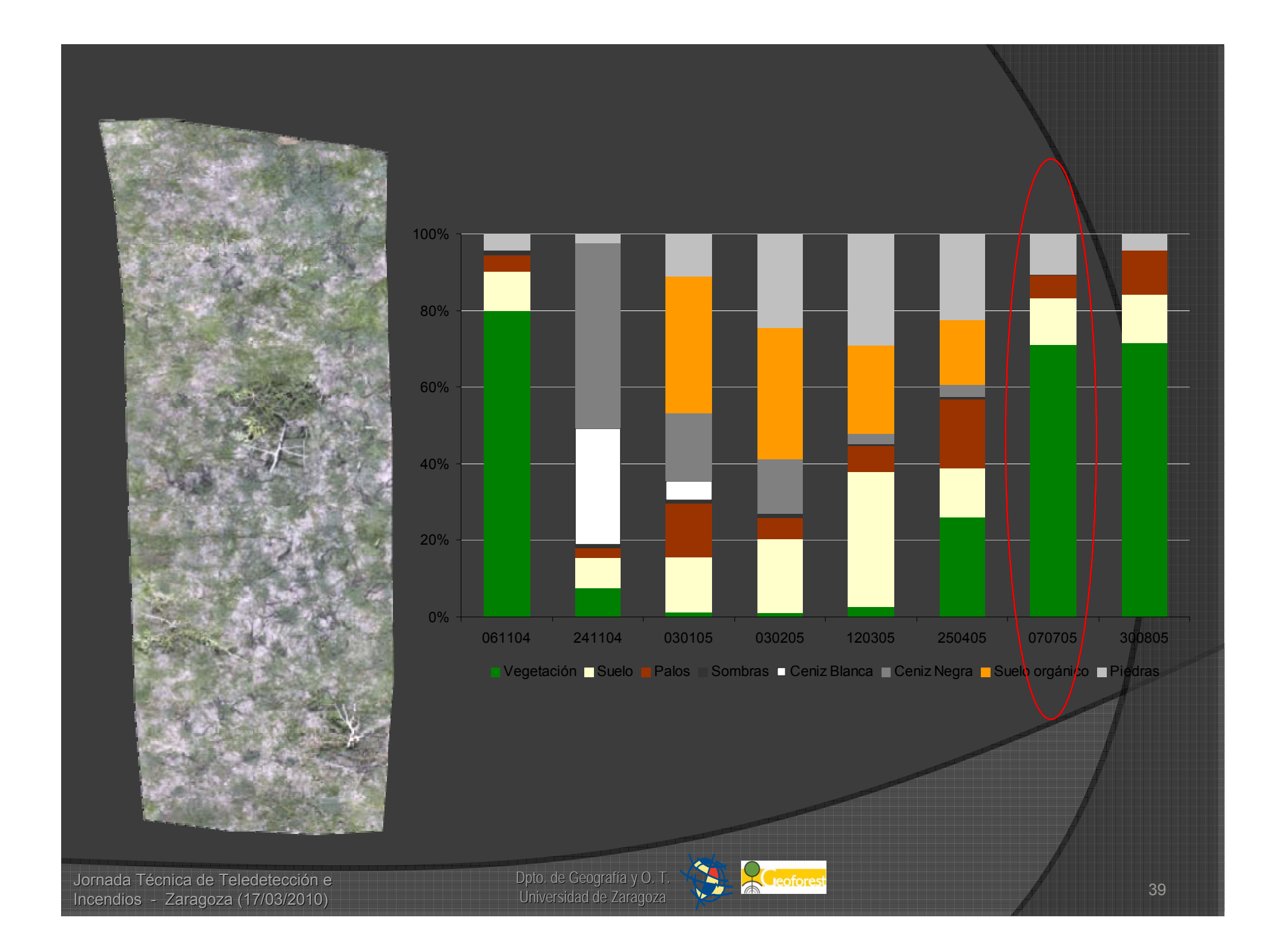


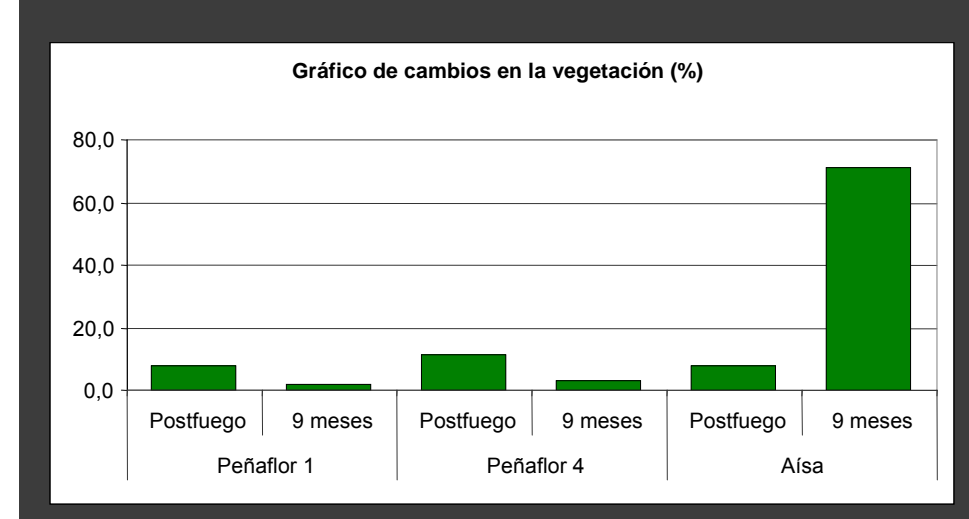


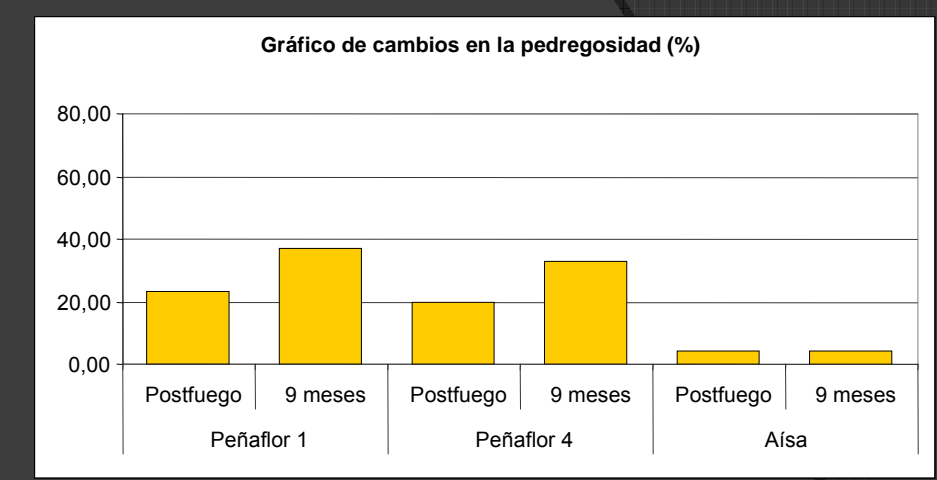


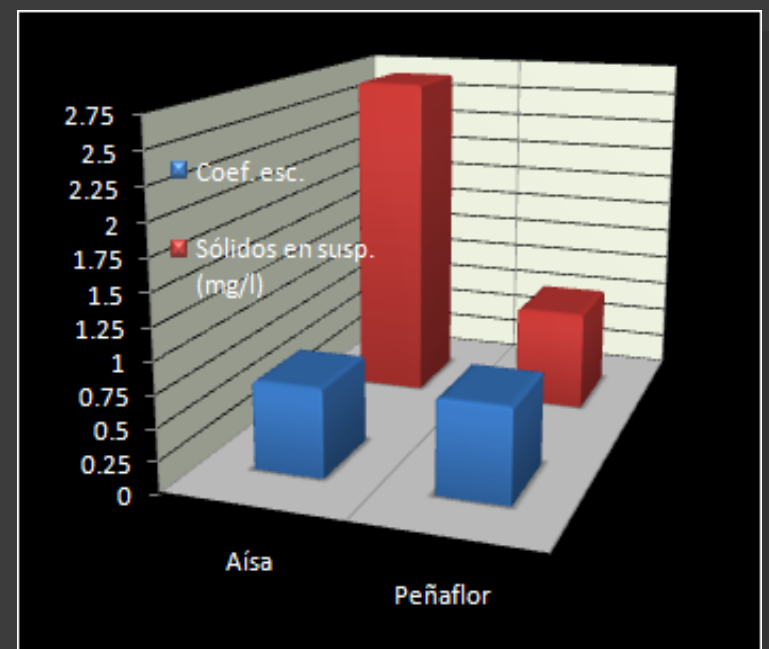


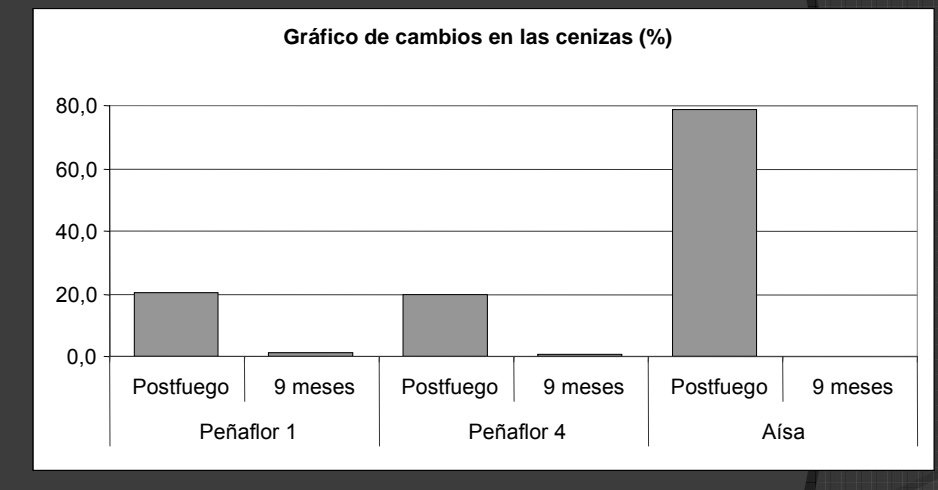












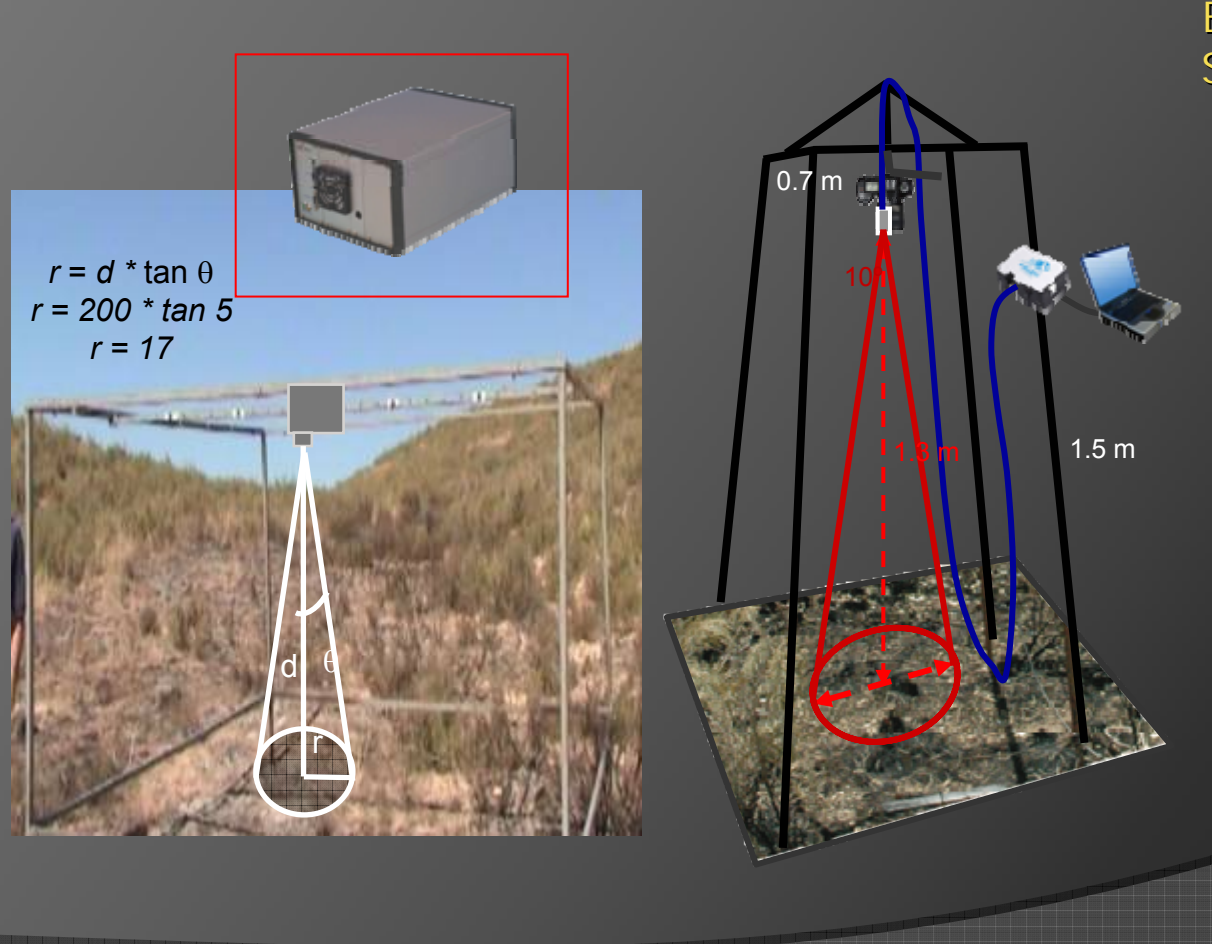




Jornada Técnica de Teledetección e Incendios - Zaragoza (17/03/2010)

Espectrometría de campo

- Evaluar la respuesta espectral de los productos de combustión
- Identificar los rangos espectrales más adecuados para la estimación de estos productos
- Determinar de manera más precisa la variable severidad a escala de detalle.



Espectrómetro Avantes AvaSpec Software AvaSoft Versión 7.0.9 Full

AvaSpec-2048

Rango espectral: 300-1100 nm Resolución espectral: 2.4 nm FWHM

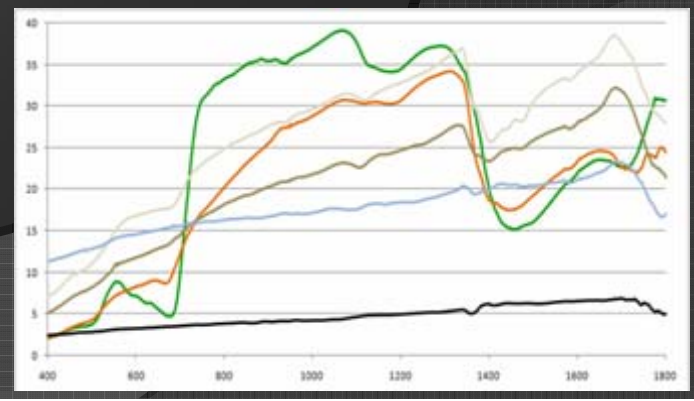
Intervalo de muestreo: 0.57 nm

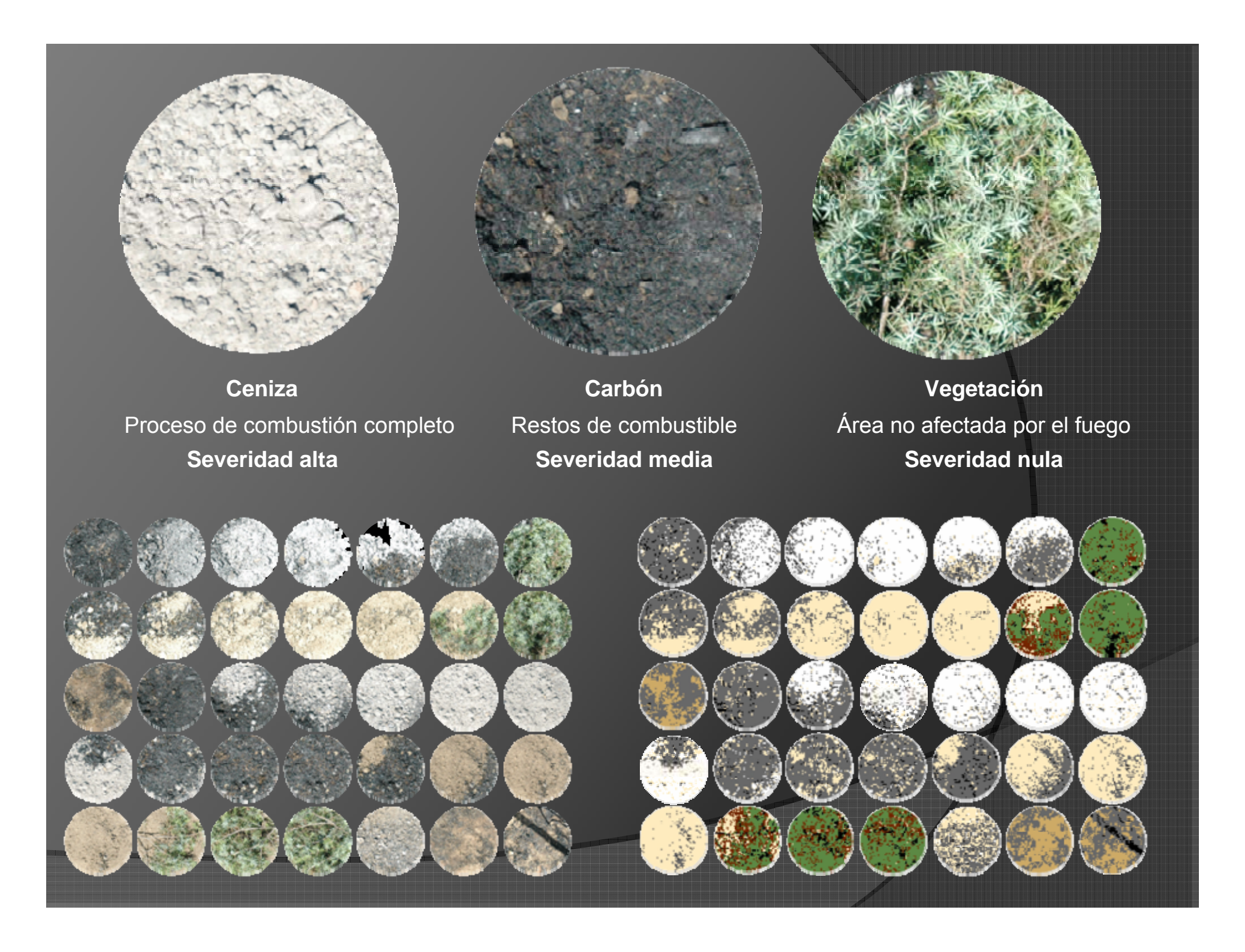
AvaSpec-NIR256-1.7

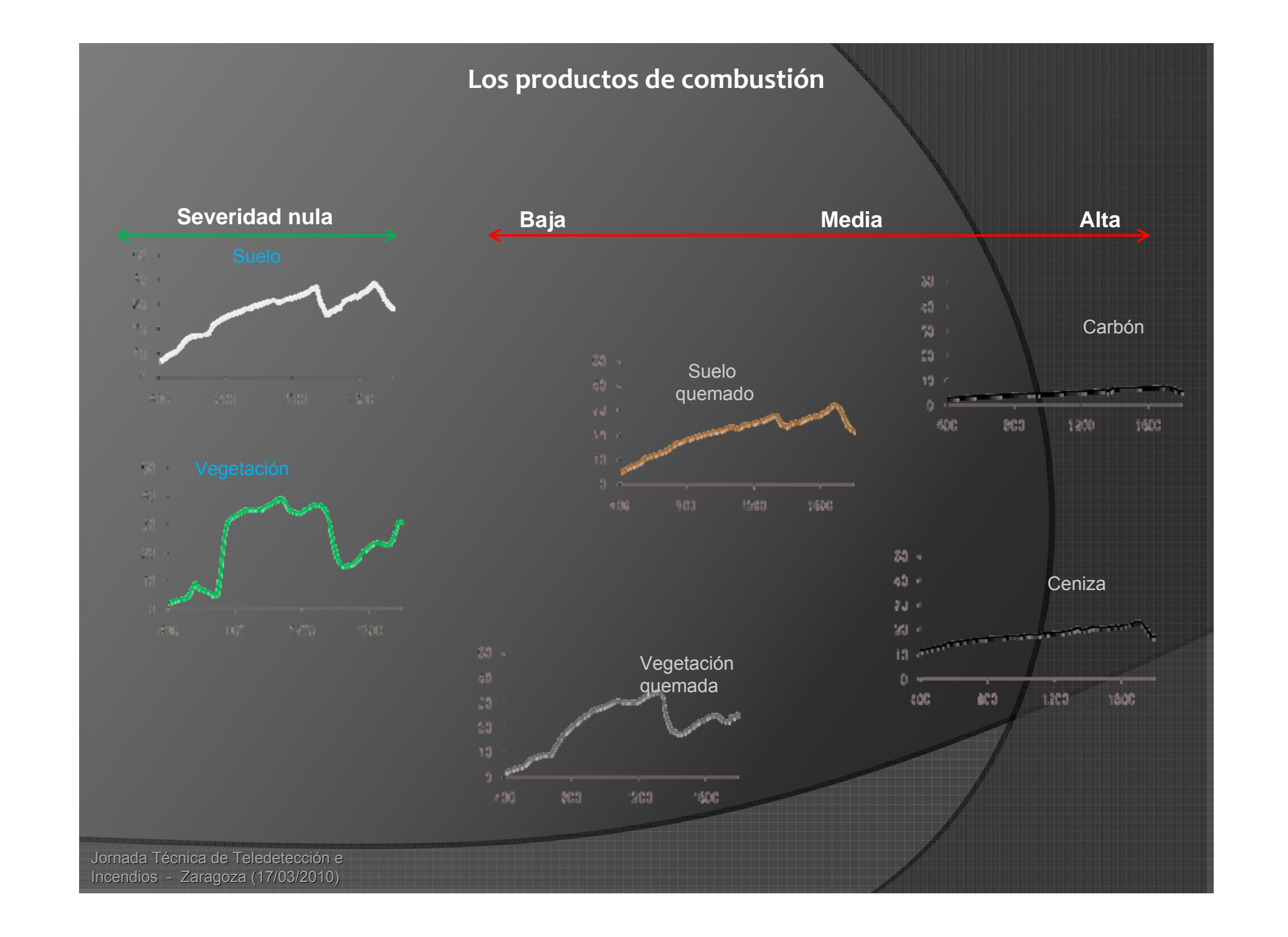
Rango espectral: 900-1750 nm

Resolución espectral: 6 nm FWHM

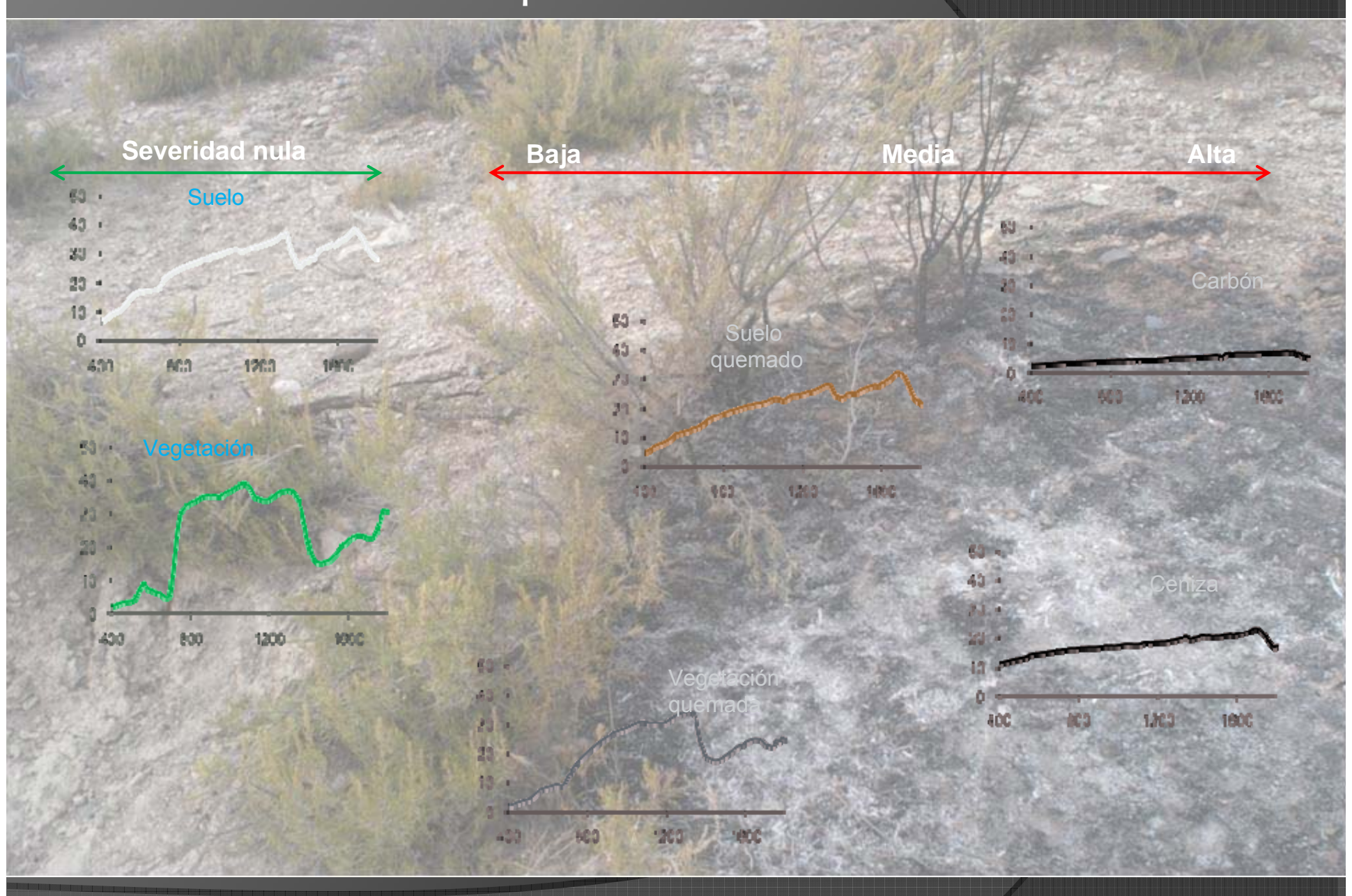
Intervalo de muestreo: 3.54 nm







Los productos de combustión



Jornada Técnica de Teledetección e Incendios - Zaragoza (17/03/2010)

Primera Derivada de la Reflectividad (PDR)

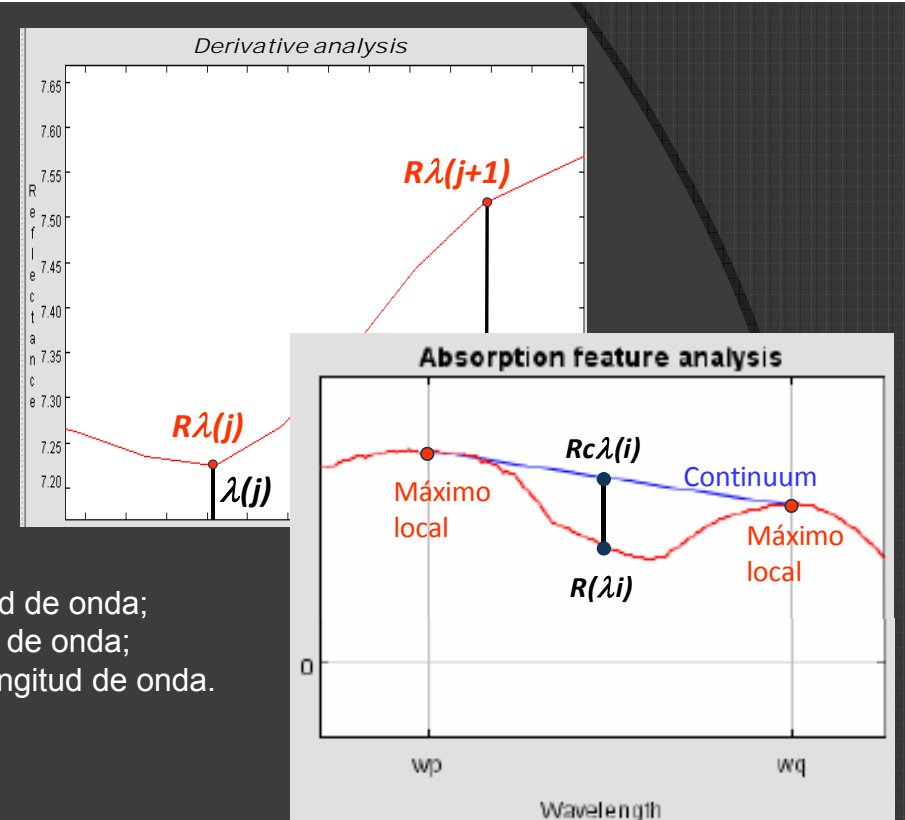
$$PDR_{\lambda(j)} = (R_{\lambda(j+1)} - R_{\lambda(j)}) / (\lambda_{(j+1)} - \lambda_{(j)})$$

R es el valor de reflectividad; (j) y (j+1) son las longitudes de onda.

Absorción Diferencial frente a la Tendencia (ADFT)

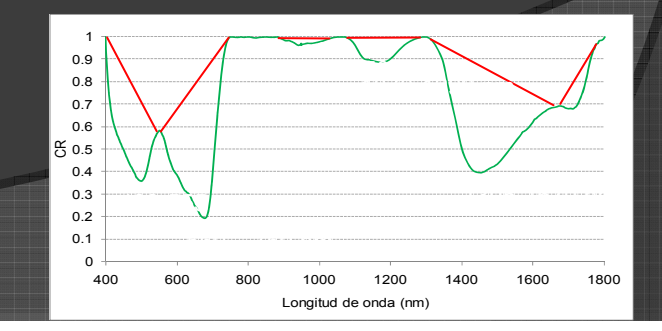
$$R'_{\lambda(i)} = R_{(\lambda i)} / Rc_{\lambda(i)}$$

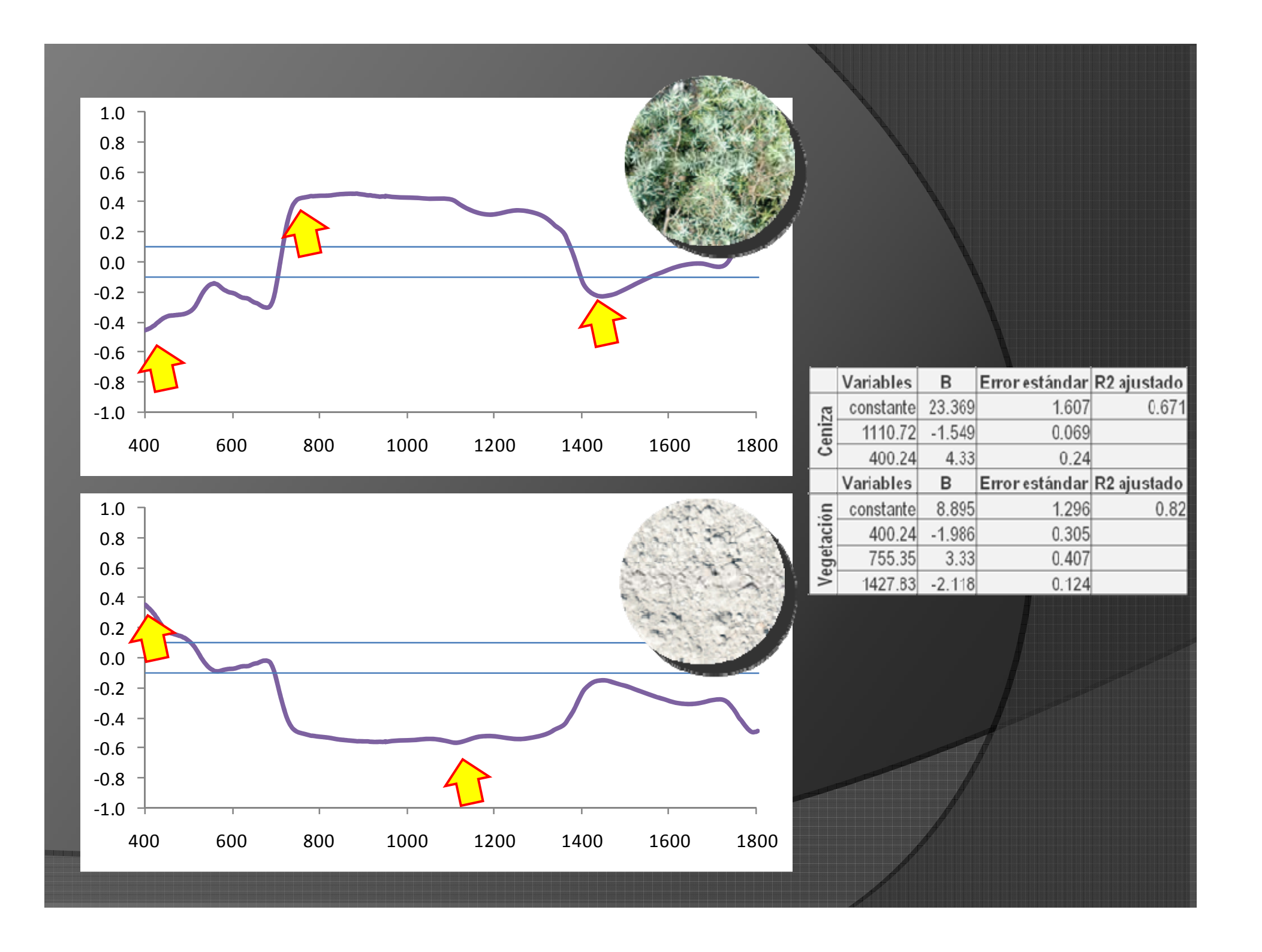
 $R'(\lambda i)$ es la absorción diferencial en cada longitud de onda; $R(\lambda i)$ es la reflectividad original en cada longitud de onda; $Rc(\lambda i)$ es la reflectividad del continuo en cada longitud de onda.

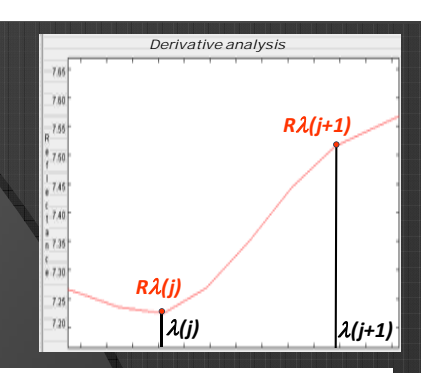


Profundidad de Banda Cociente Normalizado de la PB Normalización por el Área Índice Normalizado de la PB

$$PB = 1 - R'$$
 $CNPB = PB_{\lambda} / PB_{\lambda central}$
 $PBA = PB_{\lambda} / A$
 $INPB = (PB_{\lambda} - PB_{\lambda central}) / (PB_{\lambda} + PB_{\lambda central})$





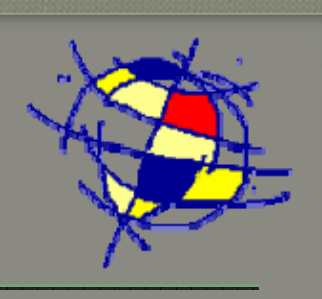


Análisis de regresión lineal múltiple por pasos sucesivos

	Longitudes de onda	\mathbb{R}^2	
Reflectividad			
Vegetación	400.24 (-), 755.35 (+), 1427.83 (-)	0.82	
Carbón	915.38 (-), 1733.71 (+)	0.585	
Ceniza	1110.72 (-), 400.24 (+)	0.671	
Prime ra De rivada de la Reflectividad			
Vegetación	744.59 (+), 592.35 (-), 1543.07 (+), 1330.88 (-), 773.44 (-)	0.864	
Carbón	1567.06 (-), 526.82 (-), 862.64 (-), 951 (+), 1587.49 (-), 534.97 (-)	0.753	
Ceniza	755.92 (-), 1076.13 (-), 484.23 (-), 1546.51 (-), 438.51 (-), 459.64 (+)	0.746	
Profundidad de Absorción			
Vegetación	1459.6 (+), 707.09 (+), 1710.86 (-)	0.82	
Carbón	1287.03 (+), 1424.08 (-), 921.06 (+), 444.97 (+)	0.626	
Ceniza	1424.28 (-)	0.463	



Universidad de Zaragoza Geografía y Ordenación del Territorio



Análisis de severidad y regeneración con SAR

- potencial de la retrodifusión y la coherencia interferométrica para el estudio de áreas quemadas -



Mihai Tanase Juan de la Riva Fernando Peréz-Cabello

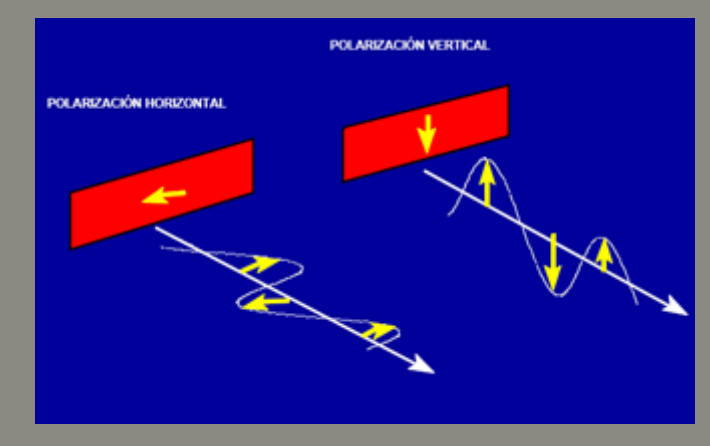
http://geoforest.unizar.es/

Resumen

- El radar de apertura sintética (SAR)
- El área de estudio
- Sensibilidad del SAR a la de severidad del incendio
 - La retro difusión
 - La coherencia interferométrica
- Seguimiento de la regeneración post-fuego
- Conclusiones

El radar de apertura sintética – conceptos

- Sistema activo: emite pulsos EM y recibe la energía reflejada en su dirección (retro difusión)
- Emite y registra diferentes polarizaciones
 - HH VV, co-polarizadas
 - HV, VH cruzadas
- Tiene su propia fuente de energía
 - → no depende del sol
 - → registra día y noche



- Dada la longitud de onda no está afectado por la nubosidad
- El contenido de información de la imagen se relaciona con la fuerza de dispersión de los objetos

Factores que afectan a la retro difusión

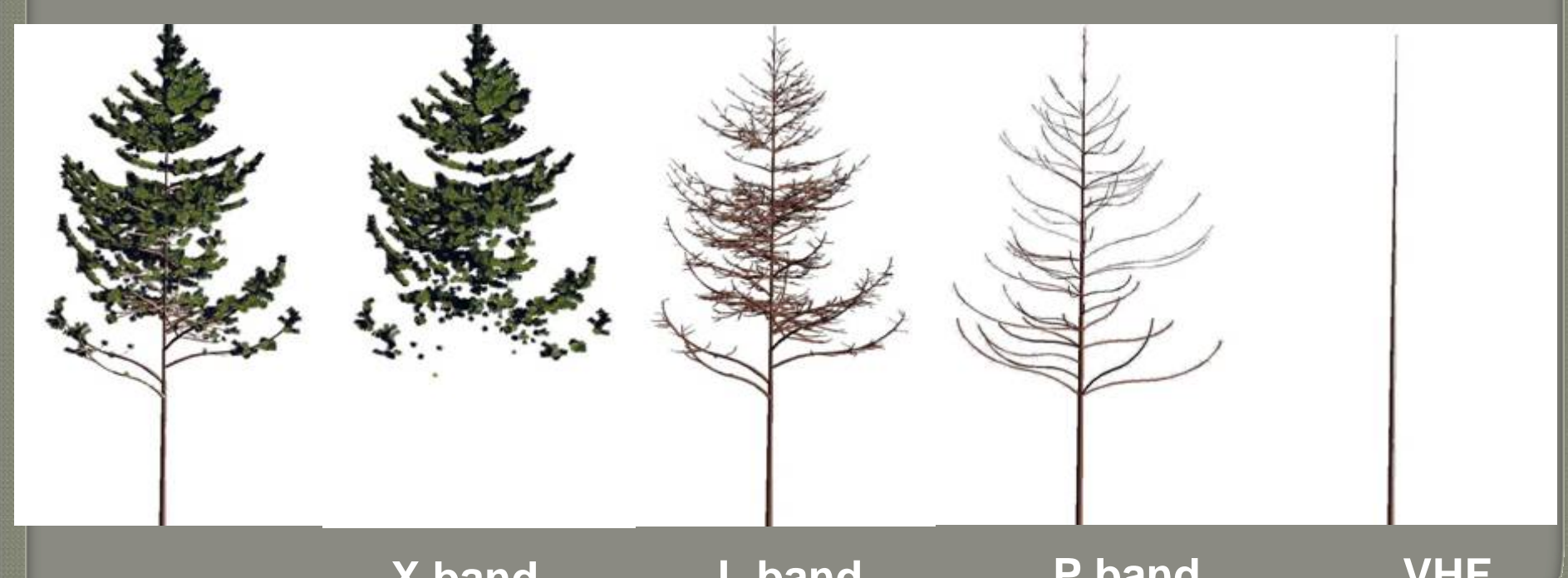
- Parámetros del sensor
- frecuencia / longitud de onda
- polarización
- ángulo de incidencia
- Parámetros del objetivo
- rugosidad de la superficie
- constante dieléctrica (varía con la humedad ambiental)
- características de la vegetación
- Otros factores
- reflectores tipo esquina
- grandes estructura y estructuras lineales
- relieve

Factores que afectan a la retro difusión

- Parámetros del sensor
- frecuencia / longitud de onda
- Bandas utilizadas por los sistemas espaciales:
- Banda X: 2.4 a 3.75 cm (12.5 a 8 GHz): TerraSAR-X,
 SkyMed
- Banda C: 3.75 a 7.5 cm (8 a 4Ghz): ERS 1& 2, Radarsat 1&2
- Banda S: de 7.5 a 15 cm (4 a 2 Ghz): ALMAZ
- Banda L: 15 a 30 cm (2 a 1 Ghz): JERS-1, ALOS PALSAR,
- Banda P: de 30 a 100cm (1 a 0.3 GHz): misión futura

Factores que afectan a la retro difusión

- Parámetros del sensor
- frecuencia / longitud de onda



Austrian pine

X band λ= 3 cm

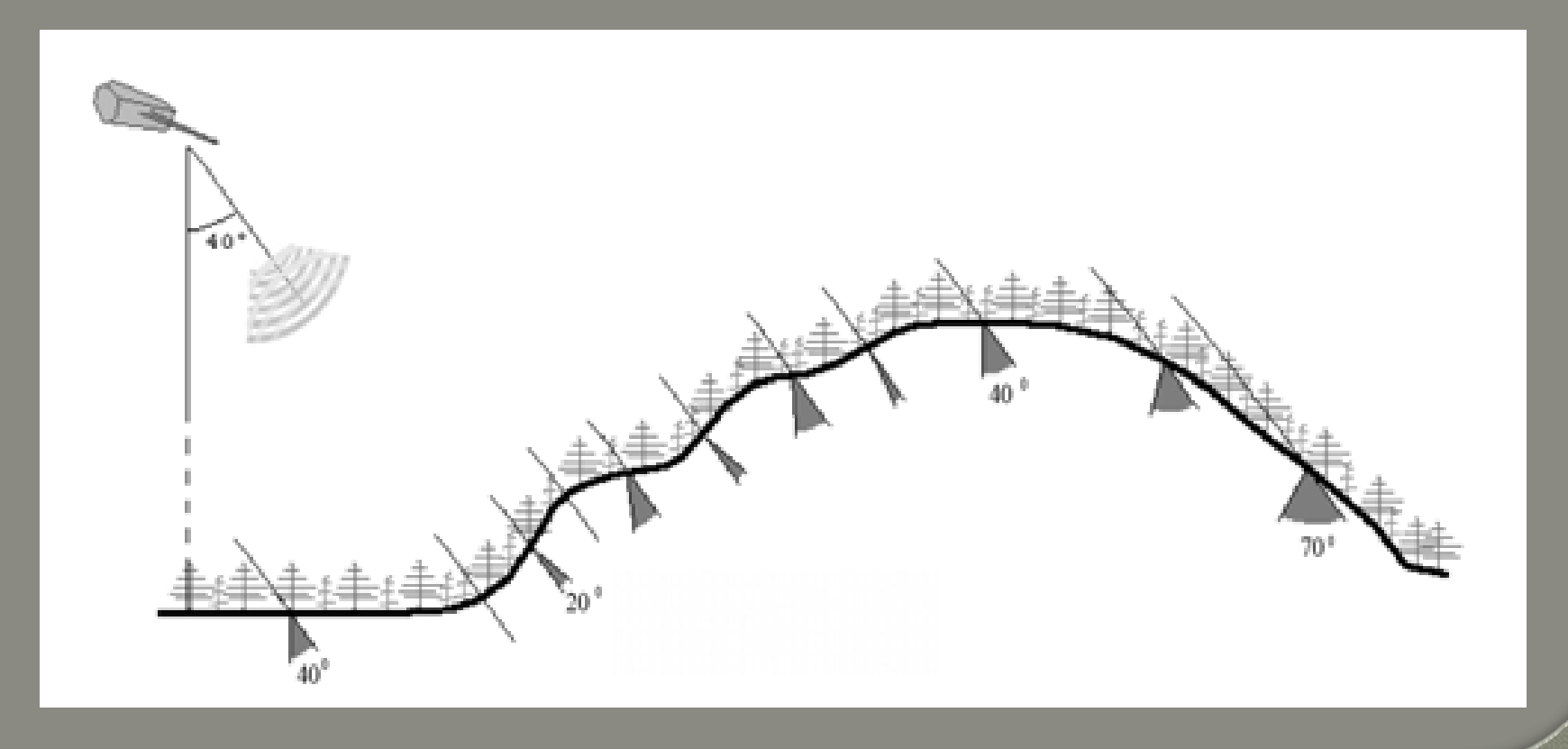
L band λ= 27 cm

P band λ= 70 cm

VHF $\lambda > 3 \text{ m}$

Factores que afectan a la retro difusión

- Parámetros del sensor
- ángulo de incidencia



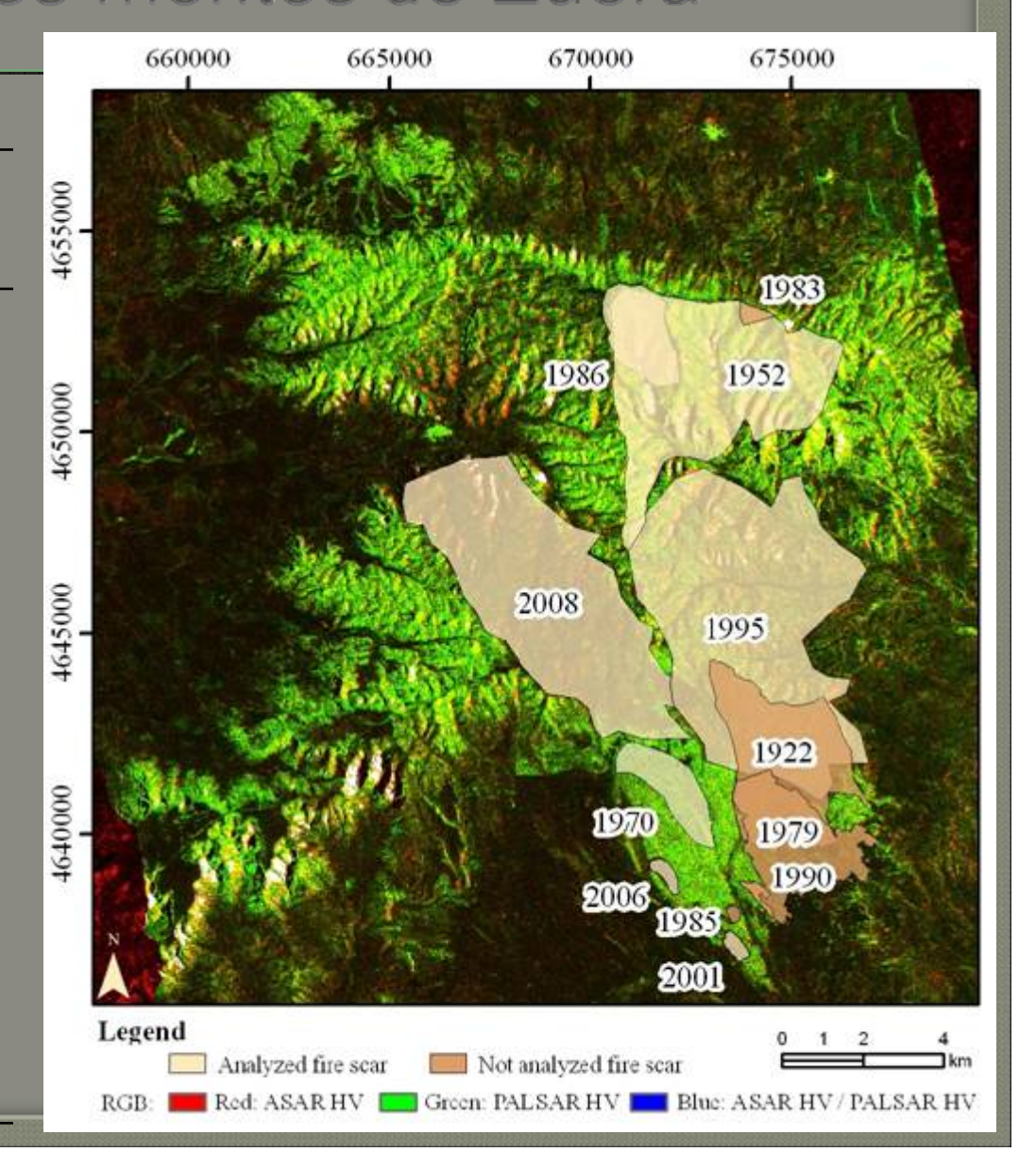
El radar de apertura sintética – inteferometria

- Imágenes SAR de la misma región desde dos órbitas
- Productos interferométricos:
- Diferencias de la fase > Interferograma : información sobre la altura y/o movimiento de la superficie
- Combinación de las amplitudes > Coherencia: información sobre las propiedades bio-geofísicas de la superficie

Área de estudio – los montes de Zuera

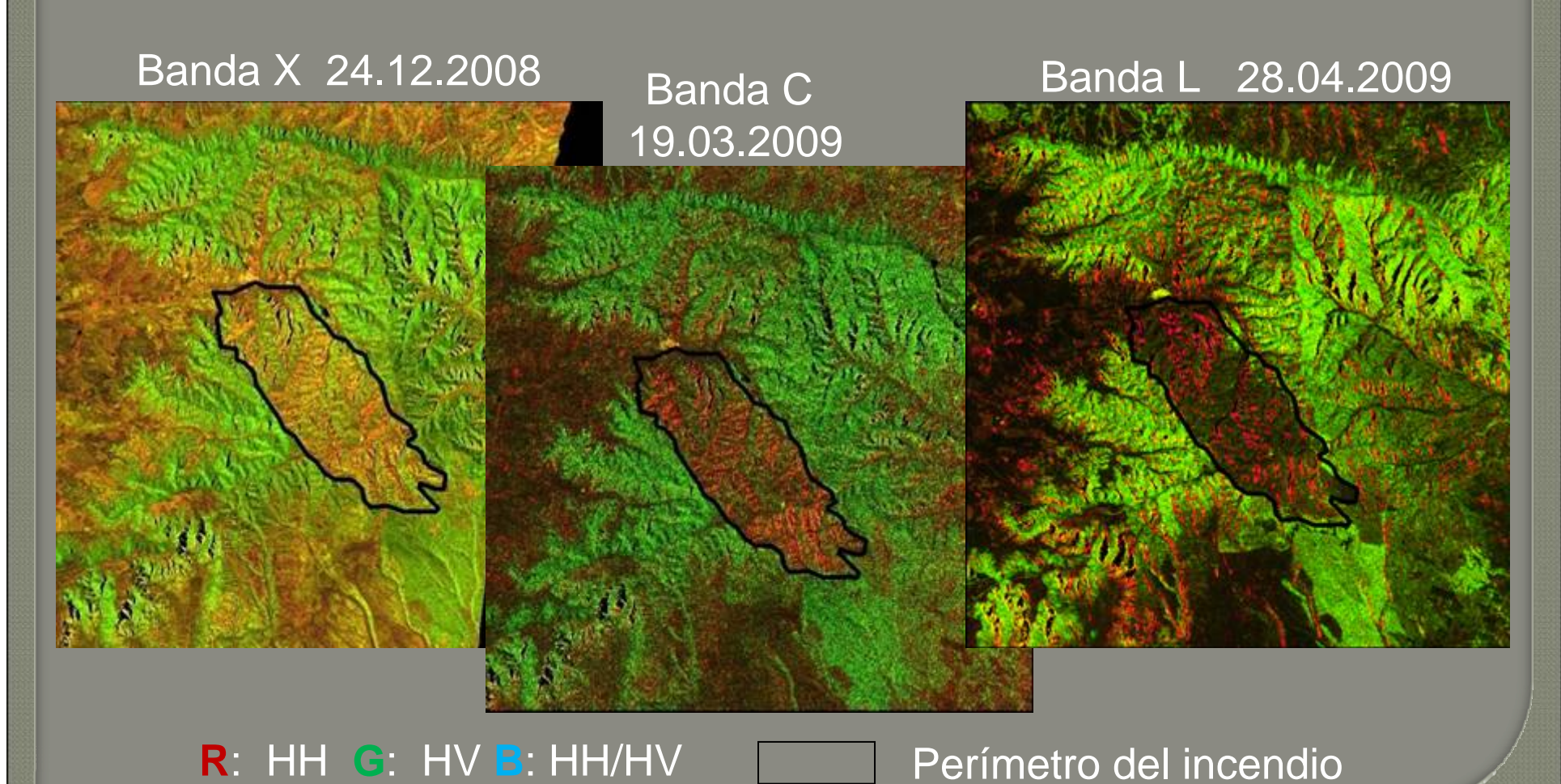
Incendios del ultimo siglo

Año	Área	Edad del
AIIU	quemada (ha)	bosque
1922	1030	87
1952	2000	57
1970	272	39
1979	680	30
1983	25	26
1985	10	24
1986	303	23
1990	23	19
1995	3100	14
2001	26	8
2006	31	3
2008	2200	0.5



<u>Área de estudio – los montes de Zuera</u>

La retro difusión - incendio de Zuera 2008



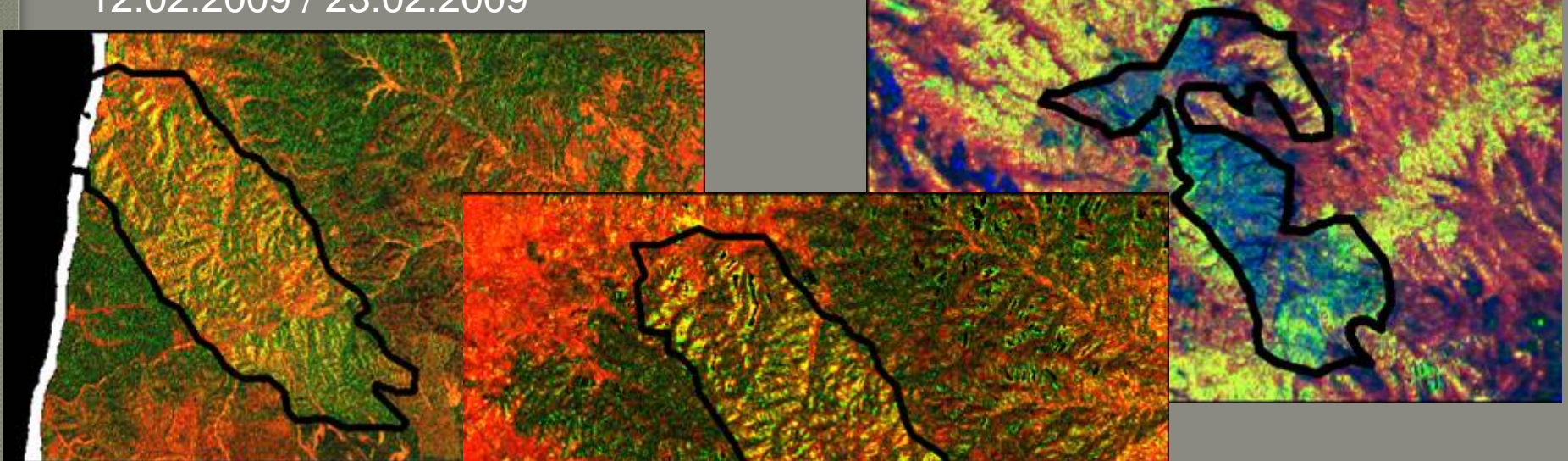
Área de estudio – los montes de Zuera

Coherencia - incendios de Zuera 2008 y Jaulin 2009

Banda X - HH 12.02.2009 / 23.02.2009 Banda L - HH 20.08.2009 / 15.10.2009

Banda C - HH

8.01.2009 / 12.02.2009



R: Coherencia

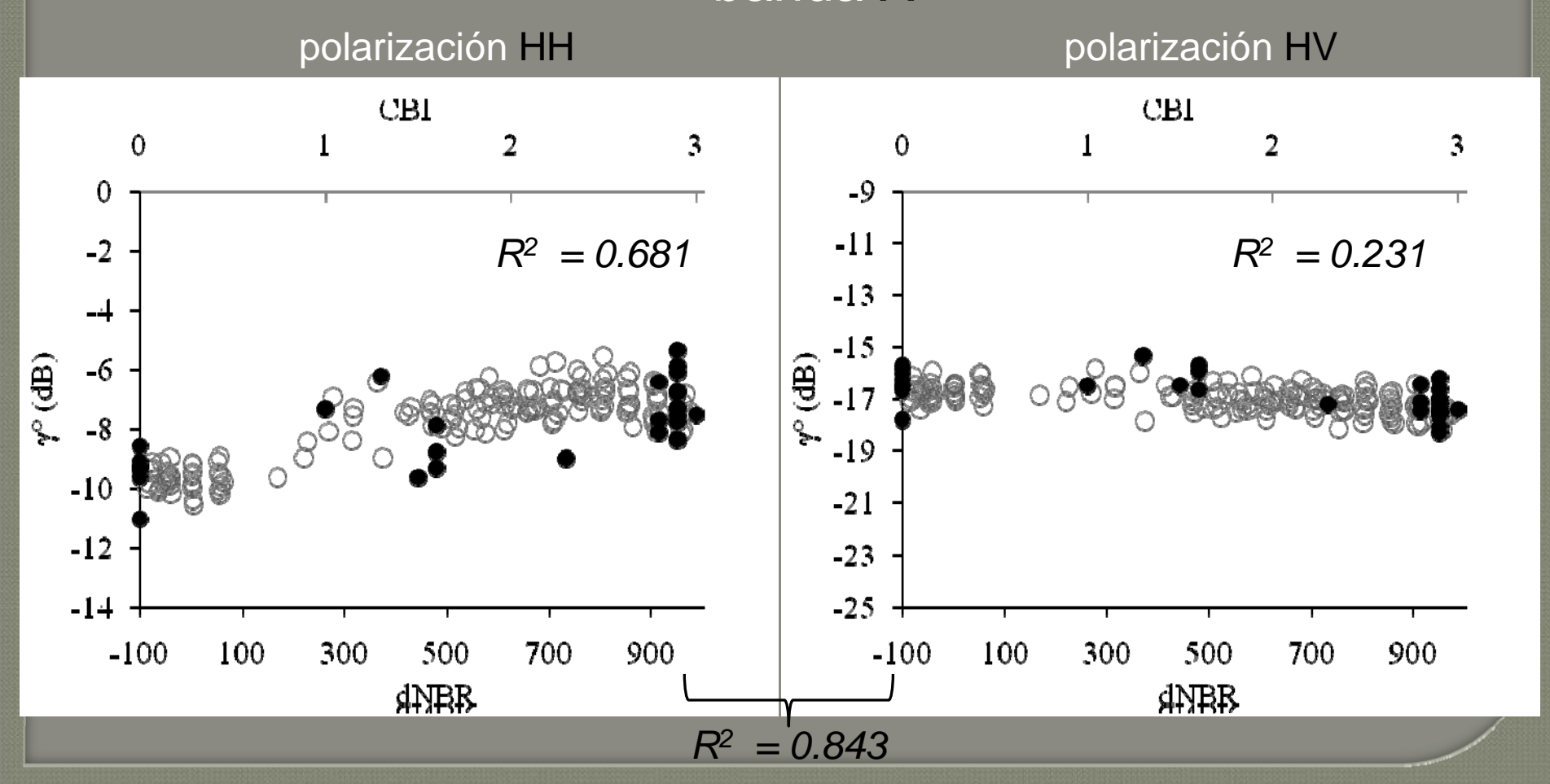
G: Retro difusión

B: Ratio de la retro difusión



Perímetro del incendio

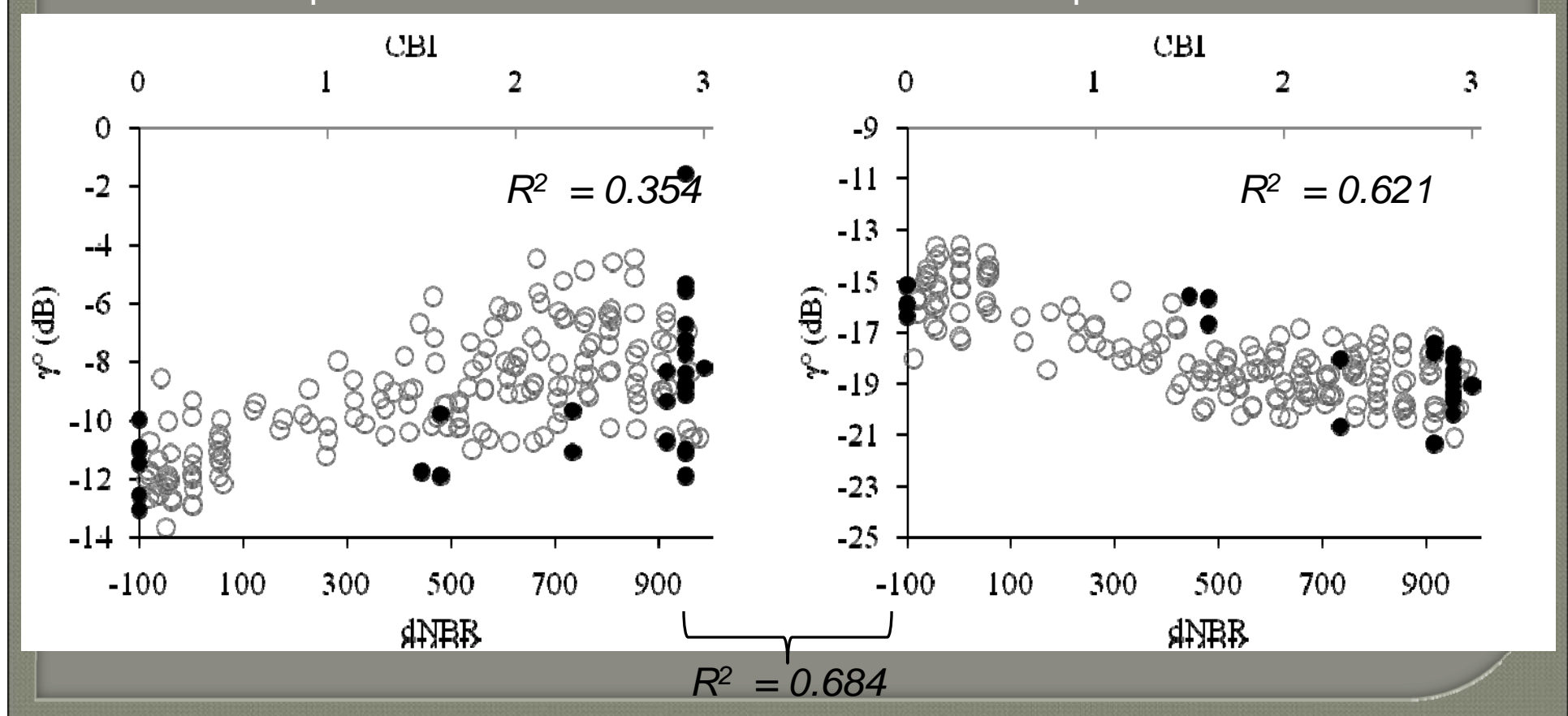
Retro difusión en función de la severidad del incendio: banda X



Retro difusión en función de la severidad del incendio: banda C

polarización HH

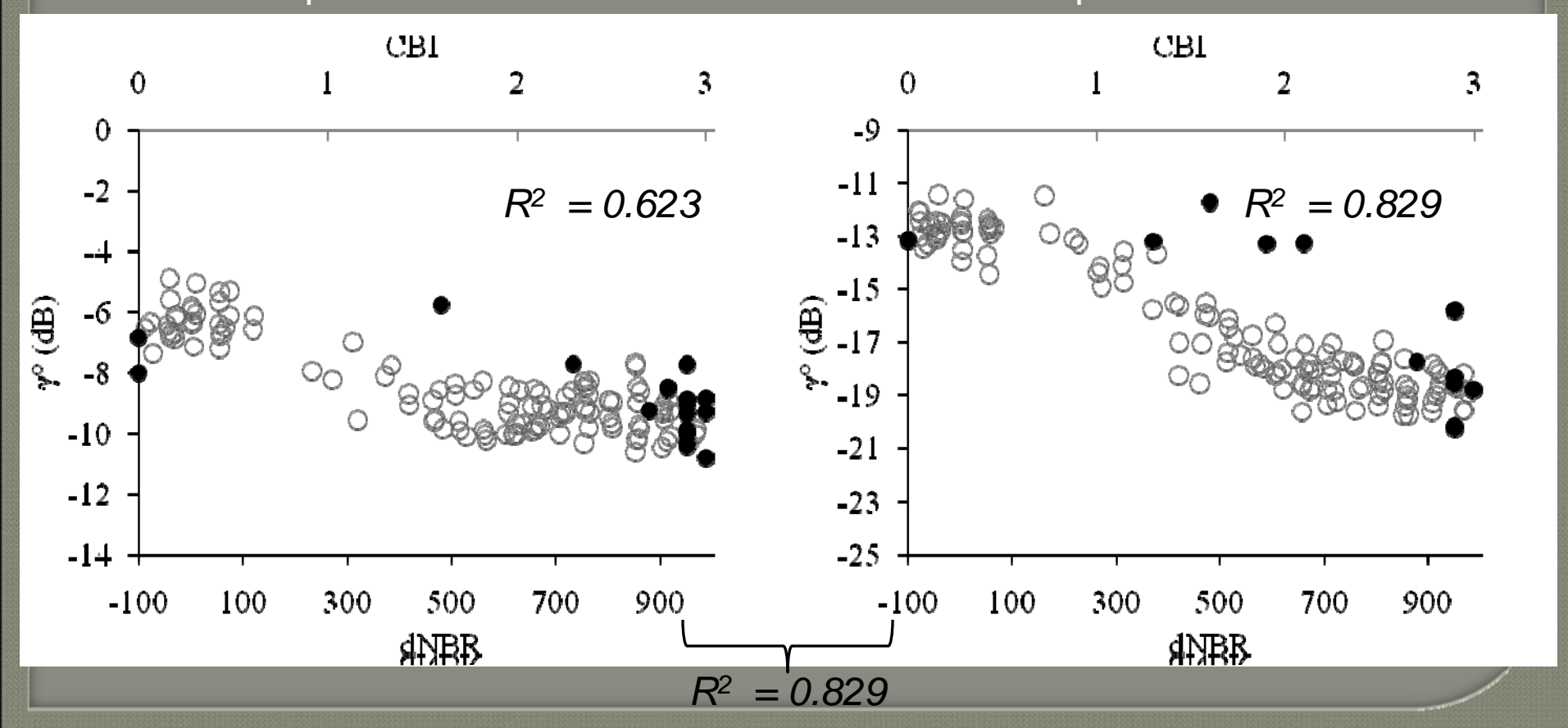
polarización HV



Retro difusión en función de la severidad del incendio: banda L

polarización HH

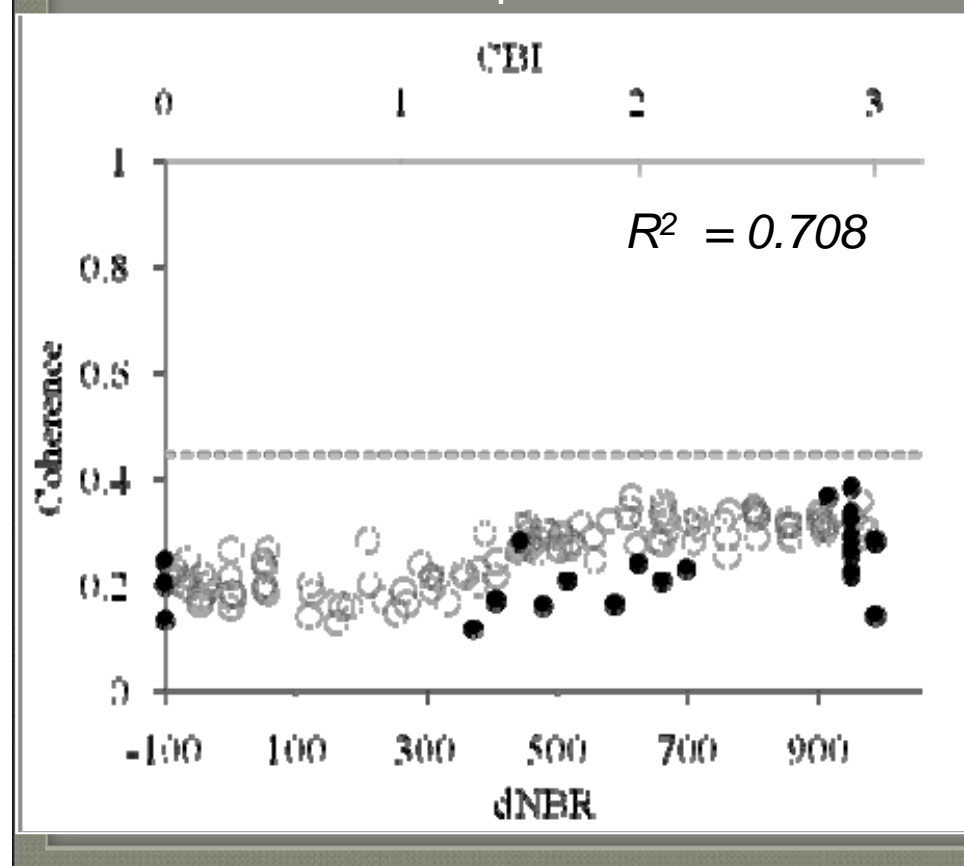
polarización HV

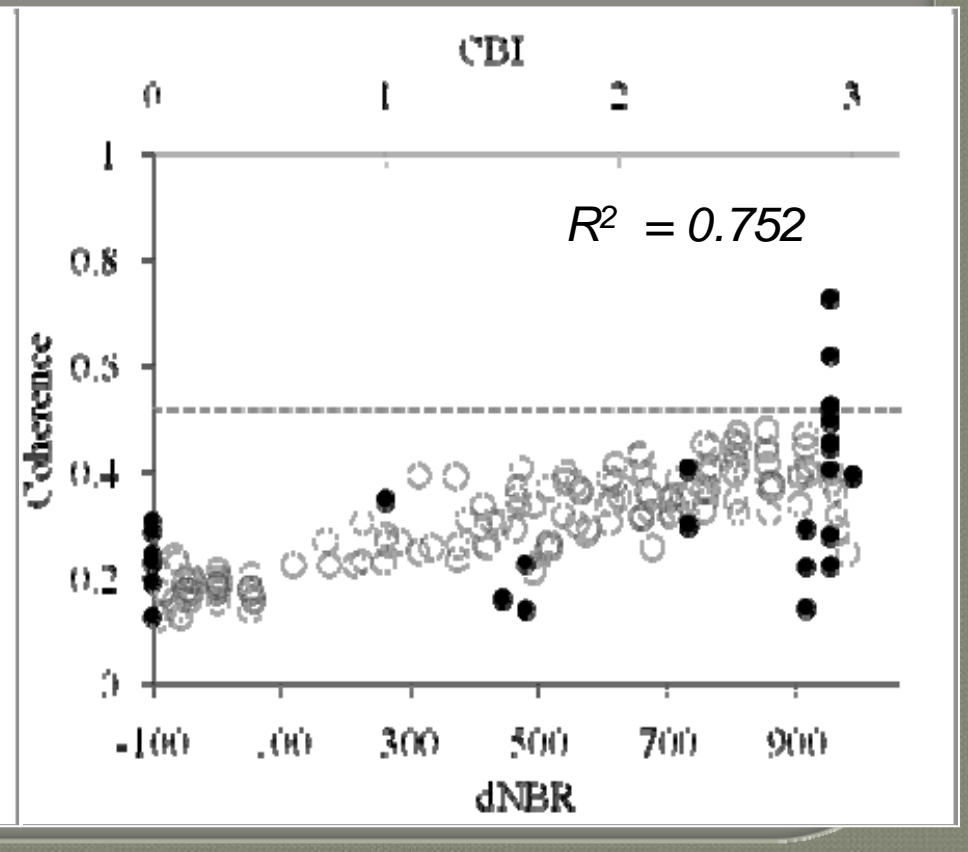


Coherencia en función de la severidad del incendio: bandas X y C

banda X polarización HH

banda C polarización HH

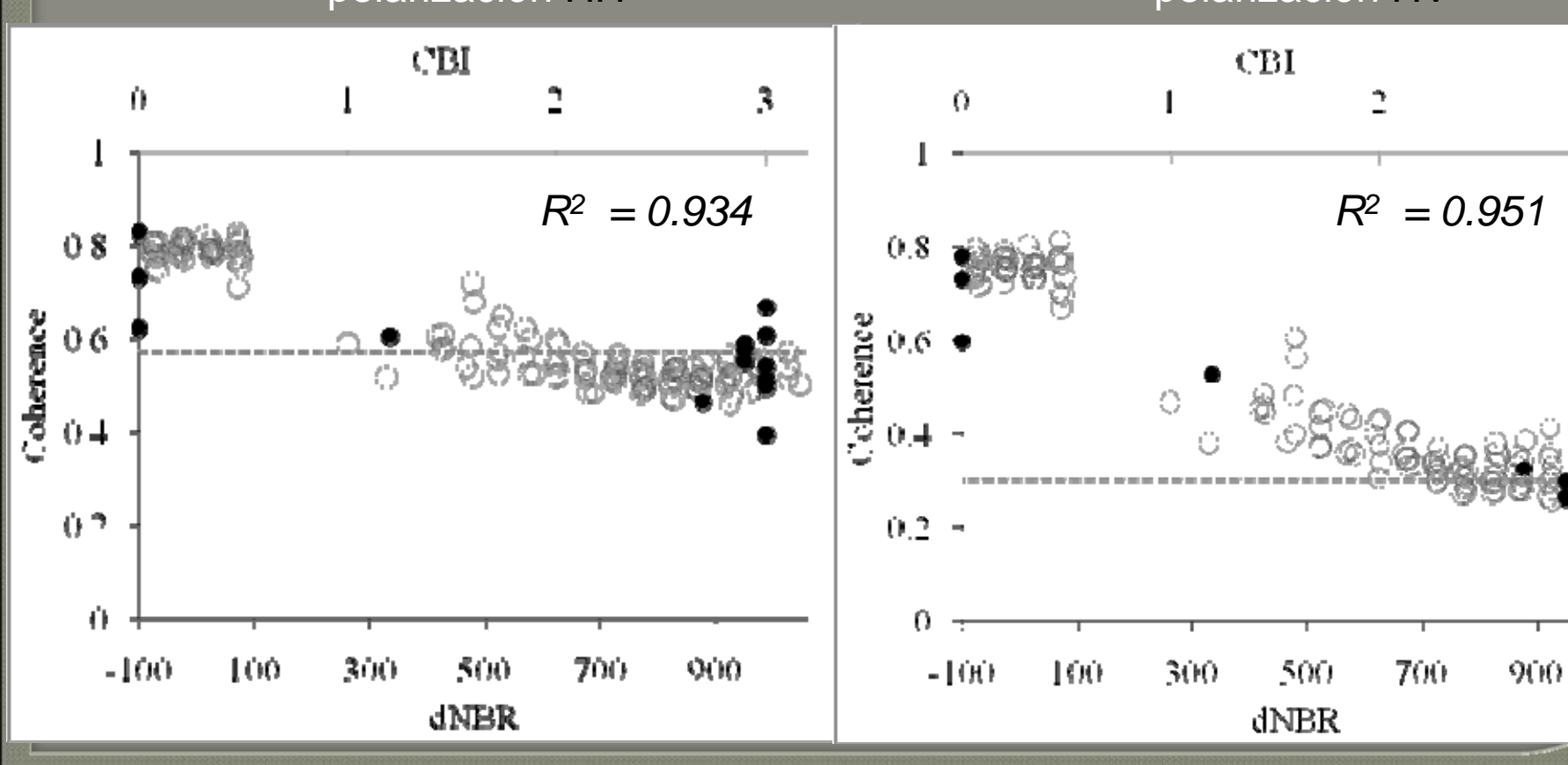




Coherencia en función de la severidad del incendio: banda L

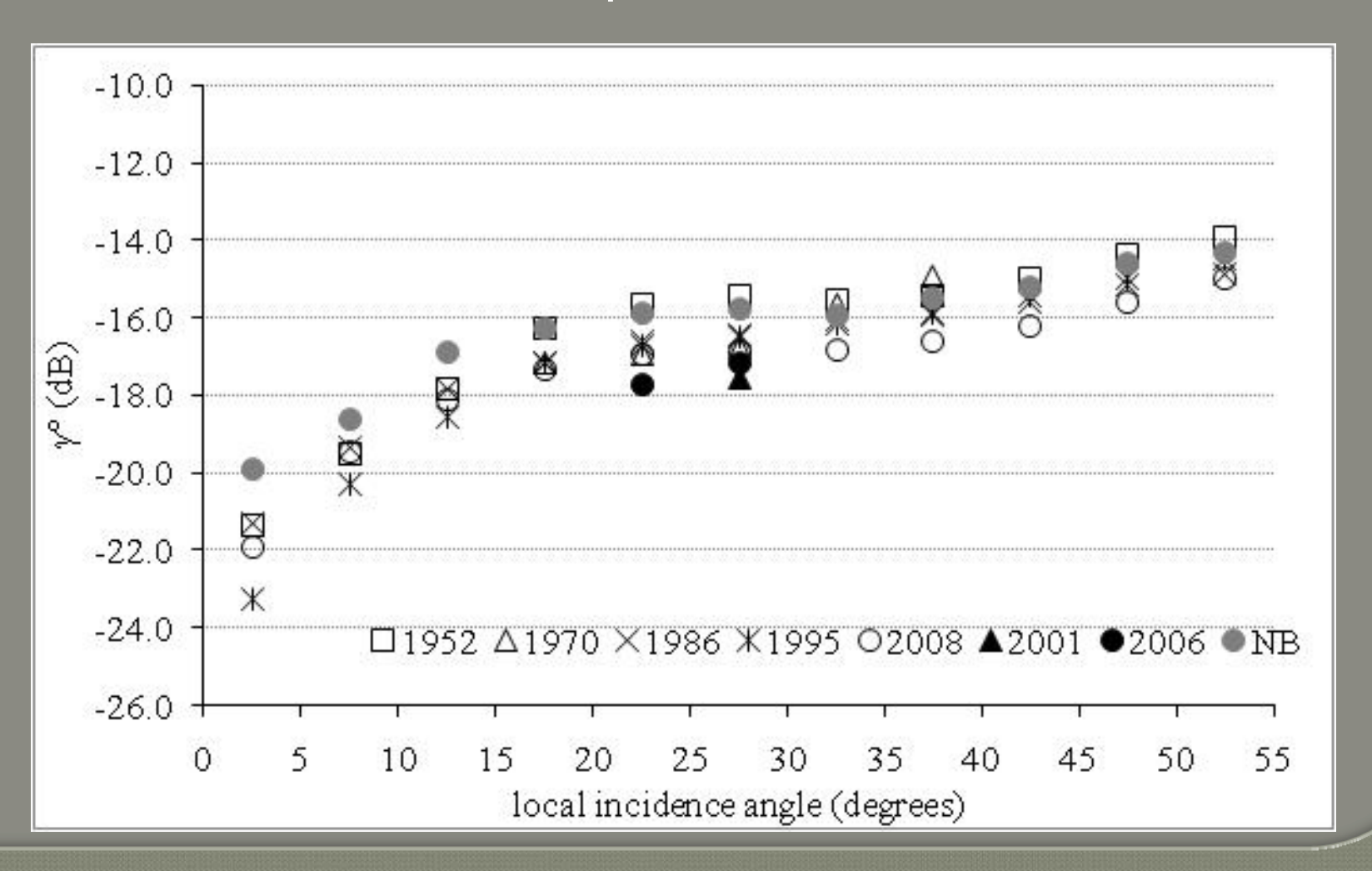
polarización HH

polarización HV



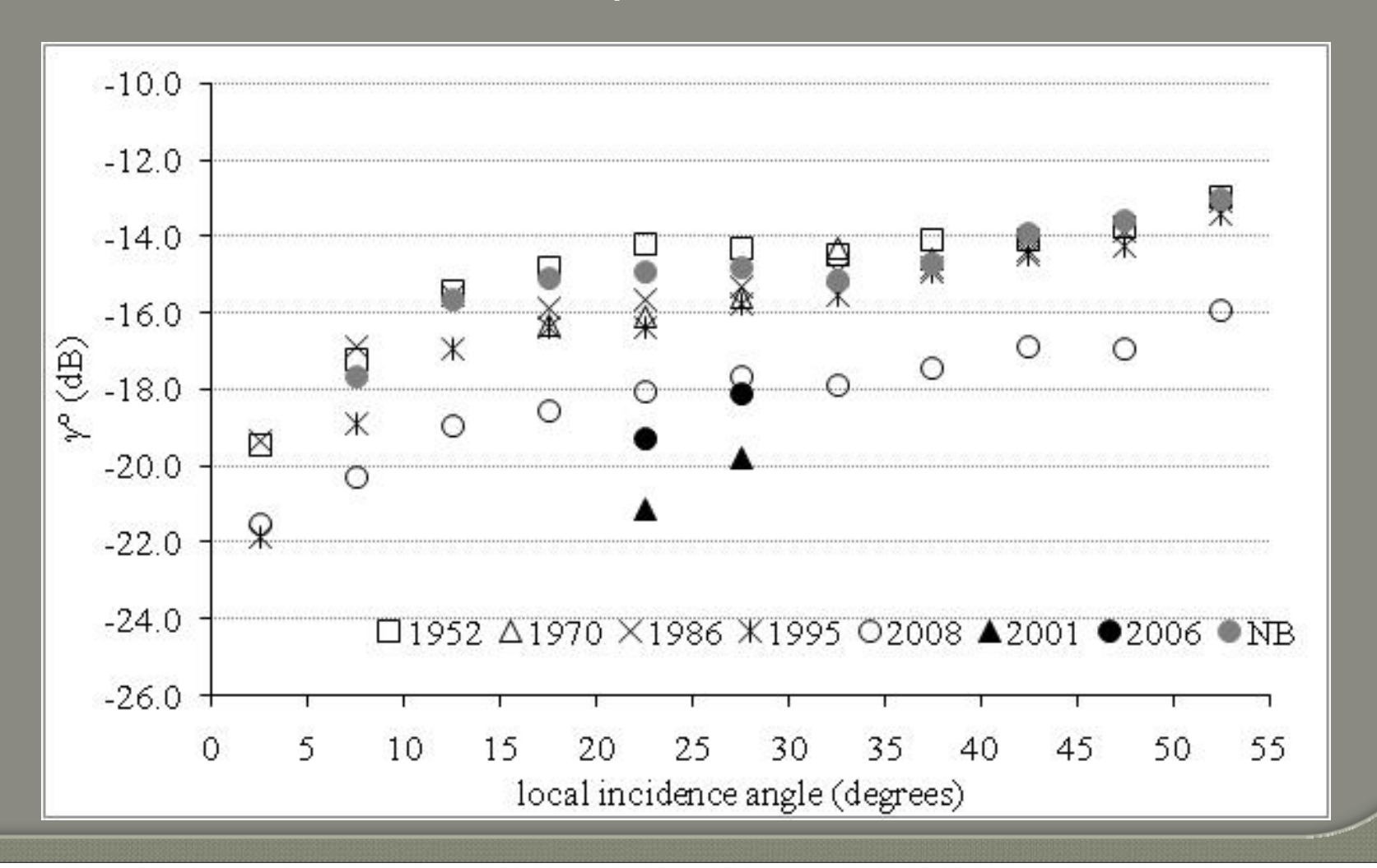
Seguimiento de la regeneración post-fuego

Retro difusión: banda X, polarización HV



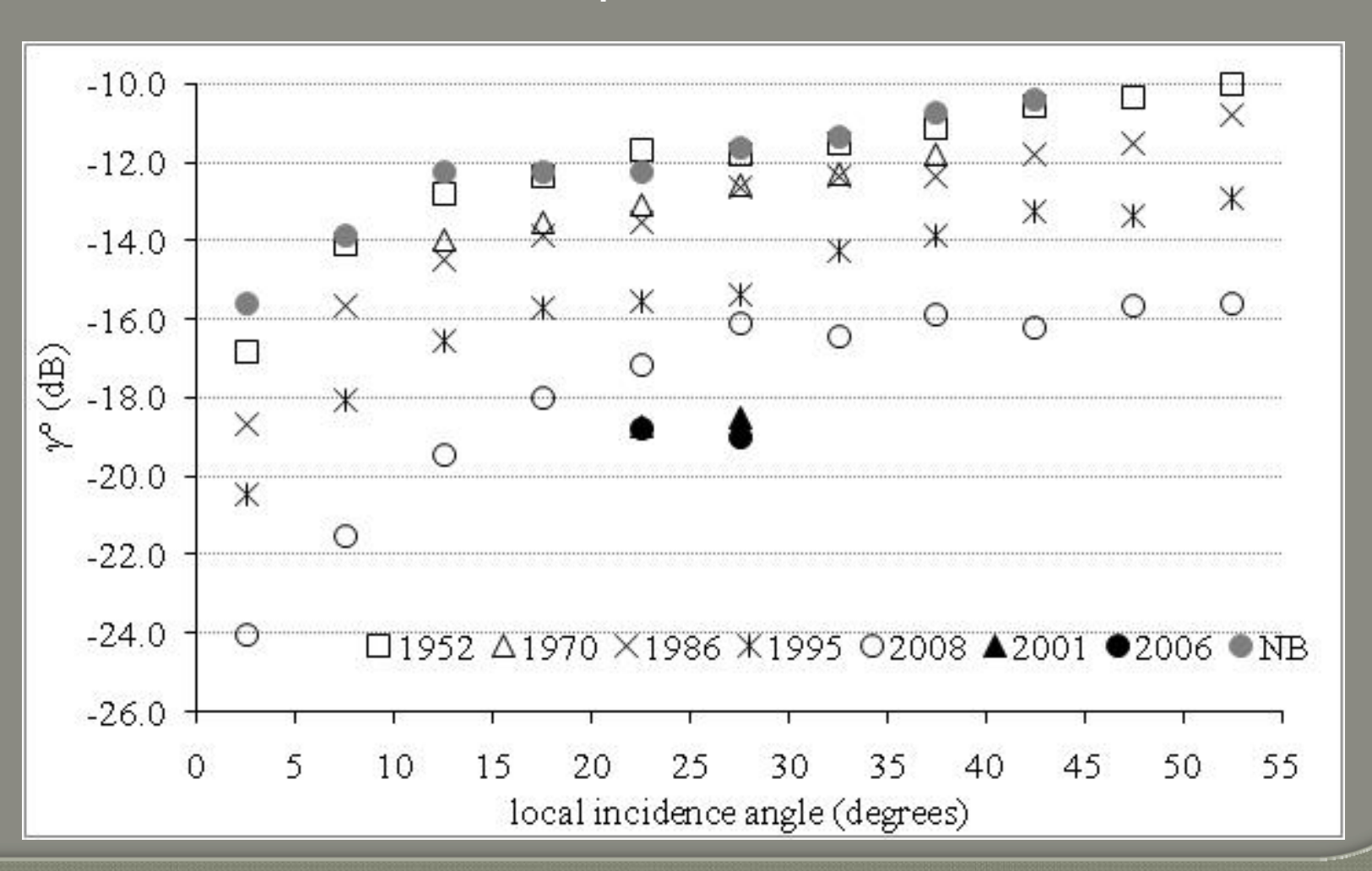
Seguimiento de la regeneración post-fuego

Retro difusión: banda C, polarización HV



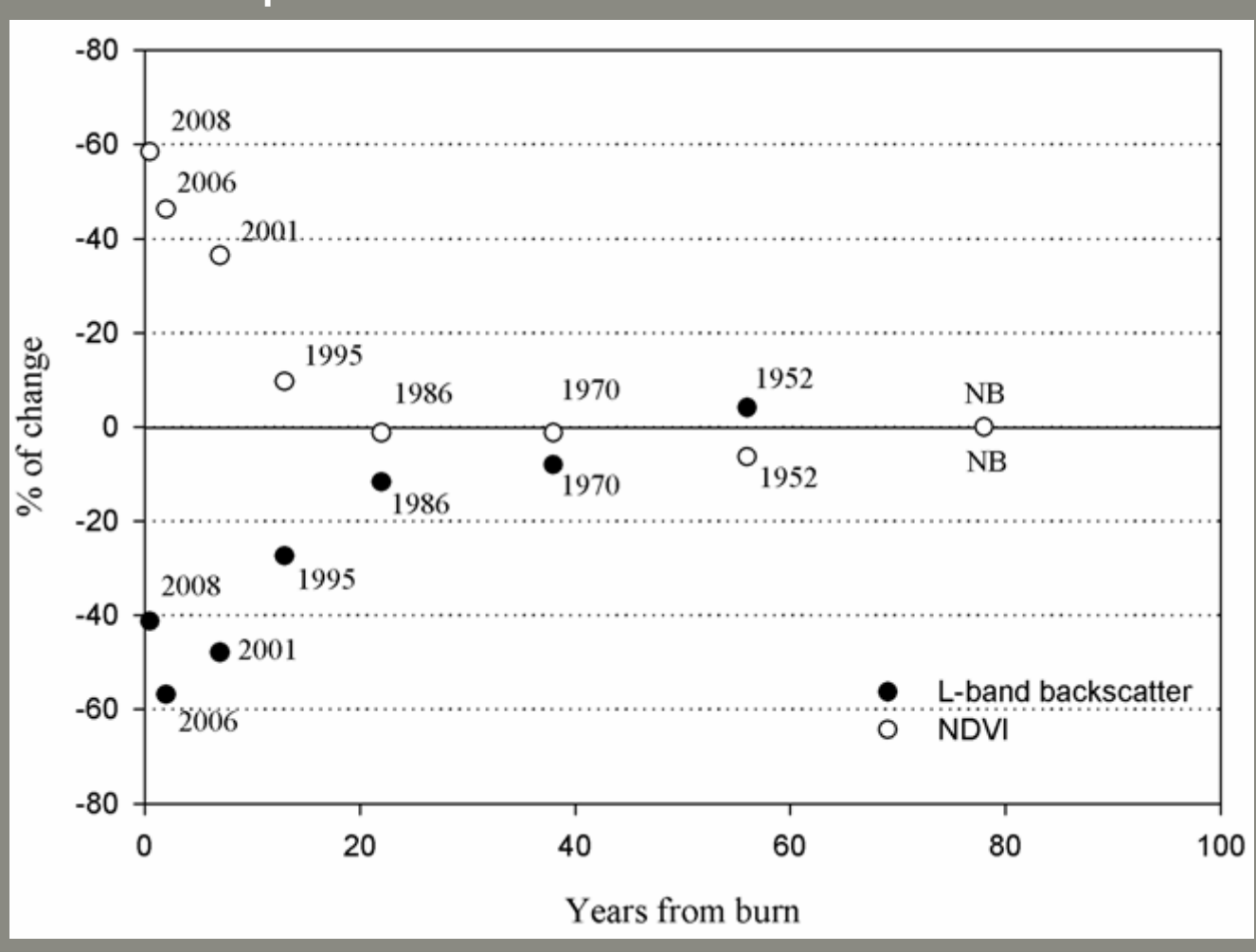
Seguimiento de la regeneración post-fuego

Retro difusión: banda L, polarización HV



Seguimiento de la regeneración tras incendios

Tendencia temporal: banda L - HV vs. NDVI



Conclusiones

- La utilidad del SAR para el estudio de los incendios disminuye con el incremento de la frecuencia.
- La retro difusión en polarizaciones cruzadas (HV y VH) muestra mayor sensibilidad para el estudio de la severidad que las ondas co-polarizadas (HH y VV).
- La coherencia de las ondas co-polarizadas (HH y VV) es mas útil para la estimación de las severidad que la coherencia de las polarizaciones cruzadas.
- La mejor banda para el seguimiento de la regeneración es L, diferenciándose entre etapas de crecimiento hasta 60 años.
- ...mientras NDVI se satura entre 15 y 20 años después del incendio.

http://geoforest.unizar.es/Bibliografía propia sobre el tema

- M. Tanase, F. Pérez-Cabello, J. de la Riva, and M. Santoro, "TerraSAR-X data for burn severity evaluation in Mediterranean forests on sloped terrain," *IEEE Trans. Geosci. Remote Sens.*, vol. 48, pp. 917-929, 2010.
- M. Tanase, J. de la Riva, F. Pérez-Cabello, and M. Santoro, "Sensitivity of X-, C- and L- band SAR backscatter to fire severity in a Mediterranean pine forests," in *Advances in RS and GIS Applications in Forest Fire Management Towards an Operational Use of Remote Sensing in Forest Fire management*. Matera, Italy: EARSeL, 2009.
- M. Tanase, M. Santoro, J. de la Riva, and F. Pérez-Cabello, "Backscatter properties of multitemporal TerraSAR-X data and the effects of influencing factors on burn severity evaluation, in a Mediterranean pine forest," in *IEEE International Geosicence and Remote Sensing Symposium, IGARSS09* Cape Town, South Africa, 2009.
- M. Tanase, J. de la Riva, M. Santoro, T. L. Toan, and F. Pérez-Cabello, "Sensitivity of X-, C-and L-band SAR backscatter to fire severity in a Mediterranean pine forest," *IEEE Trans. Geosci. Remote Sens.*, aceptado
- M. Tanase, M. Santoro, U. Wegmüller, J. de la Riva, and F. Pérez-Cabello, "Properties of X-, C- and L-band repeat-pass interferometric SAR coherence in Mediterranean pine forests affected by fires," *Remote Sensing of Environment*, en revision.